

BAB 4

ANALISA DAN PENGOLAHAN DATA

4.1 PENDAHULUAN

4.1.1 Asumsi dan Batasan

Seperti yang telah disebutkan pada bab awal tentang tujuan penelitian ini, maka terdapat beberapa asumsi yang dilakukan dalam pemodelan struktur pada program, diantaranya adalah:

- Ujung atas tiang dianggap sebagai jepit.
- Ujung bawah tiang dianggap sebagai sendi.
- Berat dan massa tiang sama dengan nol.
- Gaya yang terjadi pada struktur akibat kapal dianggap sebagai gaya terpusat.
- Tahanan tanah terhadap struktur dimodelkan sebagai pegas.

Untuk batasan yang digunakan dalam perhitungan adalah:

- Spasi antar tiang = 3 m.
- Jarak antara tiang terluar dengan tepi *pilecap* = 1 m.
- Ketebalan *pilecap* = 1 m.
- Panjang tiang vertikal : 63,5 m.
- Kuat tekan beton → f_c' (K-500) = 4165 ton/m².

4.1.2 Kriteria Desain

Dari tujuan penulisan ini yaitu untuk memperoleh konfigurasi tiang yang paling efektif dan efisien, maka terdapat beberapa kriteria yang harus dipenuhi dalam menentukan konfigurasi tersebut. Kriteria tersebut diantaranya adalah:

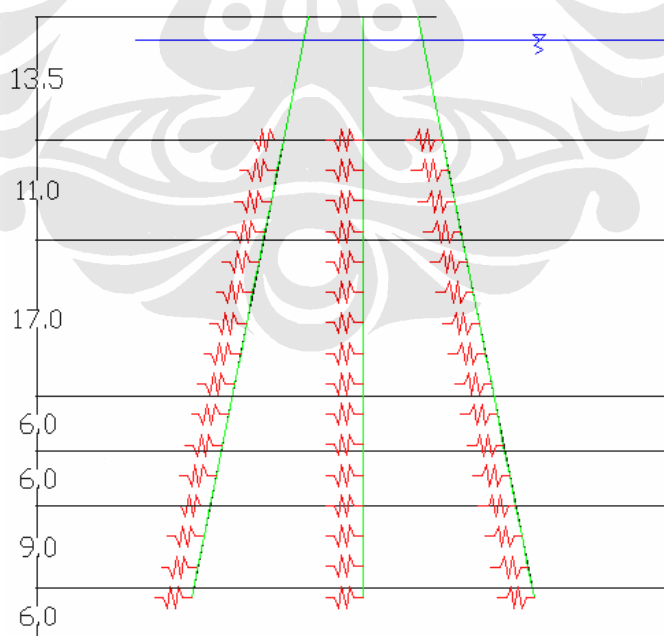
- Momen ultimit (M_u) dan gaya aksial ultimit (P_u) tiang berada di dalam diagram interaksi untuk tiang itu sendiri.
- Defleksi struktur yang terjadi tidak terlalu besar.
- Total gaya reaksi lateral maksimum tanah tidak lebih dari daya dukung lateral tanah.

4.2 DATA

Struktur *berthing dolphin* yang akan ditinjau adalah struktur *berthing dolphin* yang menggunakan data kondisi eksisting di Pelabuhan Teluk Bayur, Padang, Sumatera Barat, dimana kedalaman air laut eksisting adalah ± 9 m. Struktur *berthing dolphin* yang ditinjau pun digunakan untuk kapal CPO 30.000 DWT bertambat, yang memiliki dimensi:

- Panjang kapal (L) : 185 m
- *Moulded breadth* (B) : 28,3 m
- *Moulded depth* (D) : 15,2 m
- *Full load draft*: 10,9 m

Dari dimensi kapal yang telah disebutkan diatas, maka kapal CPO 30.000 DWT membutuhkan kedalaman air laut untuk bertambat ± 11 m. Oleh sebab itu, elevasi *seabed* harus dikurangi 2 m, sehingga kedalaman air laut yang dianggap dalam perhitungan pada penulisan skripsi ini adalah ± 11 m. Dan jarak dari bagian bawah *pilecap* ke muka air laut adalah 2,5 m. Sehingga total jarak dari bagian bawah *pilecap* ke *seabed* adalah 13,5 m (Gb 4.1.).

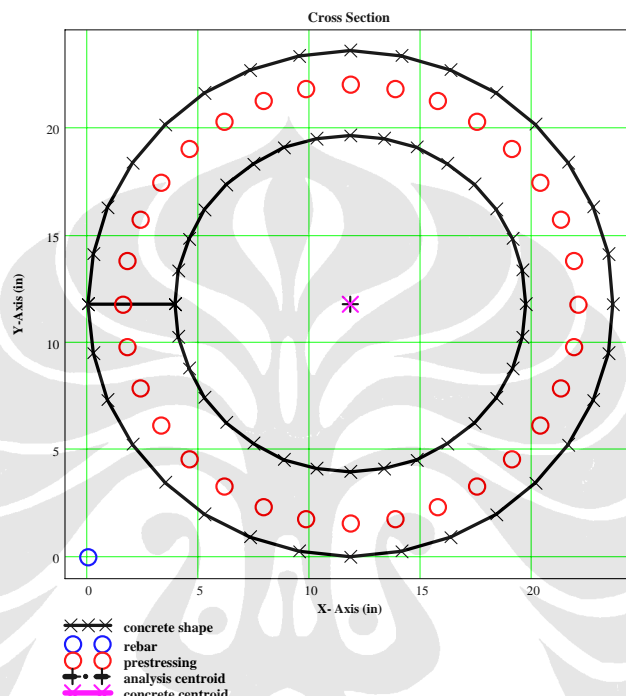


Gambar 4. 1. Elevasi Muka Air Laut dan Lapisan Tanah Pada Struktur

4.2.1 Dimensi Struktur Dan Material Tiang

Pada penelitian ini, struktur *berthing dolphin* yang ditinjau memiliki dimensi sebagai berikut:

- Pondasi tiang pancang : tiang pipa prategang, dengan diameter 600 mm dan tebal 100 mm (Gb 4.2.).
- Dimensi *pilecap* tergantung pada konfigurasi jumlah tiang yang akan ditinjau.



Gambar 4. 2. Penampang Tiang Pancang yang Digunakan

4.2.2 Perhitungan Gaya Yang Terjadi

A. Gaya Yang Terjadi Akibat Kapal Terhadap Struktur

- Tumbukan kapal

$$E = \frac{(W_1 + W_2)V^2}{2g} \times K$$

dimana:

$$W_1 = 37865\text{ton} \rightarrow \text{displacement tonnage}$$

$$W_2 = \frac{\pi}{4} \rho L H^2 = \frac{\pi}{4} \cdot 1,025 \cdot 185 \cdot 10,9^2 = 17694,507\text{ton}$$

$$V = 0,15 \text{m/s}$$

$$g = 9,8 \text{m/s}^2$$

$$K = 0,7$$

$$\text{maka, } E_f = 44,646\text{ton-m}$$

Pemilihan fender:

CSS-1450H (rubber grade F4) → produk SHIBATA

Energy absorption at 50,8% defl & 5 deg = 44,8 ton-m

Reaction force (Rma) = 74,3 tons

- Tarikan kapal

Kapal CPO 30000DWT = 16590 GT → gaya tarik = 100 ton (lihat Tabel 2.6.)

- Gaya angin pada kapal

$$R_w = \frac{1}{2} \times \rho \times C \times U^2 \times (A \cos^2 \theta + B \sin^2 \theta) (Kg) = 28079,01 \text{kg} = 28,079 \text{ton}$$

Dimana:

$$\rho = \text{kepadatan udara} (= 0,123 \text{ kg.sec}^2/\text{m}^4)$$

$$U = 25 \text{ knot} = 12,861 \text{ m/s}$$

$$\theta = 90^\circ$$

$$C = 0,8$$

$$A = \text{luas bagian depan kapal pada permukaan laut (m}^2\text{)}$$

$$B = \text{luas bagian samping kapal pada permukaan laut (m}^2\text{)}$$

$$\log A = 0,019 + 0,628 \log DWT$$
$$= 2,8306$$

$$A = 677,0677 m^2$$

$$\log B = 0,283 + 0,727 \log DWT$$
$$= 3,537$$

$$B = 3450,382 m^2$$

- Gaya arus pada kapal

$$R_p = K \times D \times V_t^2 = 480,2974 \text{ kg} = 0,4803 \text{ ton}$$

Dimana:

$$K = 1,0$$

$$D = 10,9m \times 185m \times 0,9 = 1814,85 m^2$$

$$V_t (\text{kecepatan arus}) = 1 \text{ knot} = 0,5144 \text{ m/s}$$

B. Gaya Yang Terjadi Pada Struktur

- Gaya angin

$$V \text{ angin} = 25 \text{ knot} = 12,861 \text{ m/s}$$

$$P_{\text{angin}} = \frac{V^2}{16} = 10,338 \text{ kg/m}^2$$

Dengan luas struktur yang terkena angin (A) = $18,8 m^2$, maka gaya angin total pada struktur adalah $194,35 \text{ kg} = 0,1944 \text{ ton}$. Dan nilai sekian dapat diabaikan pada perhitungan struktur yang dilakukan, karena terlalu kecil dibandingkan beban yang terjadi akibat kapal.

- Gaya arus

$$V \text{ arus} = 1 \text{ knot} = 0,5144 \text{ m/s}$$

- Gaya gempa

Tabel 4.1 dan gambar 4.3 adalah grafik gempa yang digunakan sebagai input pada program SAP2000.

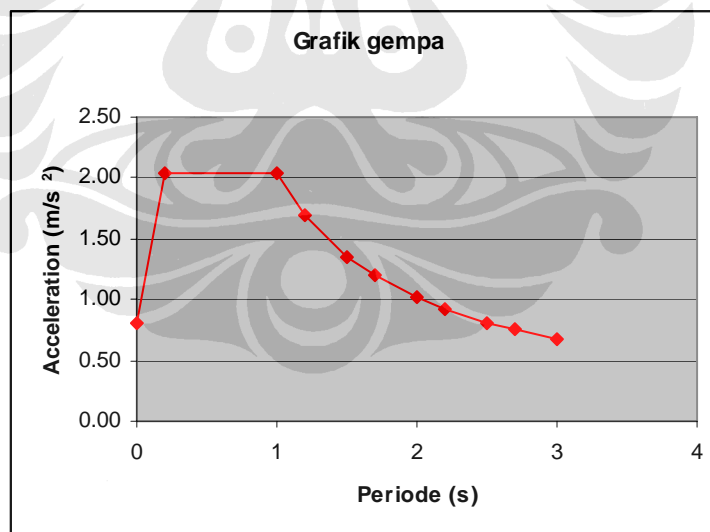
Tabel 4. 1. Periode Dan Percepatan Gempa

T	C	Accel
0	0,38	0,81
0,2	0,95	2,03
1	0,95	2,03
1,2	0,79	1,69
1,5	0,63	1,35
1,7	0,56	1,19
2	0,48	1,02
2,2	0,43	0,92
2,5	0,38	0,81
2,7	0,35	0,75
3	0,32	0,68

Perhitungan C (nilai faktor respons gempa) diperoleh dengan rumus:

$C = \frac{0.95}{T}$ → tanah lunak , berdasarkan dari grafik spektrum respons gempa

rencana (Gb.2.10). Kemudian percepatan gempa menjadi,



Gambar 4. 3. Grafik Gempa Untuk Input SAP2000

- Beban hidup
pejalan kaki = 0.5 ton/m^2
 - Beban mati adalah dari berat sendiri struktur.

4.2.3 Data Tanah Dan Modulus Subgrade Reaction

Pada data *borelog* (lampiran 1) yang diperoleh, menunjukkan bahwa kondisi eksisting tanah, berada pada elevasi -9 M LWS (0,00 m), dan tanah keras berada pada elevasi -60 M LWS (-51,00 m). Tetapi karena dianggap akan ada pengeringan sedalam 2 m, seperti yang telah dijelaskan sebelumnya, maka total kedalaman tanah hingga tanah keras 49 m. Namun tiang dianggap akan dipancang hingga 1 m masuk ke dalam tanah keras, sehingga total tiang yang tertanam dalam tanah adalah 50 m. Tabel 4.2 adalah properti tanah eksisting, berdasarkan *borelog*.

Tabel 4. 2. Properti Tanah Eksisting

Elevasi	Z (m)	N-SPT	jenis tanah	Cu (kN/m ²)	γ_{sat} (kN/m ³)	Φ
2 - 13	11	1	lempung berpasir, sangat lunak	20	14	0
13 - 30	17	4	lempung kelanauan, agak lunak	40	15	0
30 - 36	6	24	lempung, agak lunak	75	15	0
36 - 42	6	35	lempung kelanauan, agak kenyal	100	15	0
42 - 51	9	48	lanau, sangat kenyal	100	15	8
51 - 57	6	58	lanau berpasir, keras	150	16.5	10

Seperti yang telah disebutkan sebelumnya, bahwa pemodelan tahanan tanah terhadap struktur dianggap seperti pegas. Oleh sebab itu, diperlukan data input berupa kekakuan pegas (k_s) atau tanah tersebut, yang dapat diolah dari data tanah yang ada. Perhitungan k_s dapat dilihat pada sub-bab 2.6.3. Untuk mencari *modulus subgrade reaction* diperoleh dari gb 2. 25. Dari hasil pembacaan pada grafik tersebut, maka diperoleh nilai k_h seperti pada tabel 4. 3.

Tabel 4. 3. Nilai K_h (*Modulus Subgrade Reaction*)

Elevasi	N-SPT	k_h (N/cm ³)
0 - 13	1	4
13 - 30	4	8
30 - 36	24	47
36 - 42	35	60
42 - 51	48	90
51 - 57	58	100

Maka, kekakuan pegas untuk setiap kemiringan tiang digambarkan dalam tabel 4. 4 sampai tabel 4. 8.

- Tiang vertikal → jarak antara spring = 3,33 ; diameter tiang = 0,6 m.

Tabel 4. 4. Perhitungan K_s Untuk Kemiringan Tiang Vertikal

Elevasi	N-SPT	no spring	kh (N/cm ³)	kh (ton/m ³)	L elemen (m)	A (m ²)	ks (ton/m)
2 - 13	1	1	4	400	1,67	1,00	400,00
		2	4	400	3,33	2,00	800,00
		3	4	400	3,33	2,00	800,00
		4	4	400	2,68	1,61	956,40
13 - 30	4	4	8	800	0,66	0,39	
		5	8	800	3,33	2,00	1600,00
		6	8	800	3,33	2,00	1600,00
		7	8	800	3,33	2,00	1600,00
		8	8	800	3,33	2,00	1600,00
		9	8	800	3,03	1,82	2312,10
30 - 36	24	9	47	4700	0,31	0,18	
		10	47	4700	3,33	2,00	9400,00
		11	47	4700	2,37	1,42	10143,30
36 - 42	35	11	60	6000	0,97	0,58	
		12	60	6000	3,33	2,00	12000,00
		13	60	6000	1,67	1,00	15000,00
42 - 51	48	13	90	9000	1,67	1,00	
		14	90	9000	3,33	2,00	18000,00
		15	90	9000	3,33	2,00	18000,00
		16	90	9000	0,67	0,40	9601,80
51 - 57	58	16	100	10000	1,00	0,60	

- Tiang kemiringan 1 : 4 → jarak antara spring = 3,44 ; diameter tiang = 0,6 m.

Tabel 4. 5. Perhitungan K_s Untuk Kemiringan Tiang 1 : 4

Elevasi	N-SPT	no spring	kh (N/cm ³)	kh (ton/m ³)	L elemen (m)	A (m ²)	ks (ton/m)
2 - 13	1	1	4	400	1,72	1,03	412,80
		2	4	400	3,44	2,06	825,60
		3	4	400	3,44	2,06	825,60
		4	4	400	2,74	1,64	993,96
13 - 30	4	4	8	800	0,70	0,42	
		5	8	800	3,44	2,06	1651,20
		6	8	800	3,44	2,06	1651,20
		7	8	800	3,44	2,06	1651,20
		8	8	800	3,44	2,06	1651,20
		9	8	800	3,06	1,84	2536,42
30 - 36	24	9	47	4700	0,38	0,23	
		10	48	4800	3,44	2,06	9907,20
		11	47	4700	2,37	1,42	10538,21
36 - 42	35	11	60	6000	1,07	0,64	
		12	60	6000	3,44	2,06	12384,00
		13	60	6000	1,72	1,03	15480,00
42 - 51	48	13	90	9000	1,72	1,03	
		14	90	9000	3,44	2,06	18576,00
		15	90	9000	3,44	2,06	18576,00
		16	90	9000	0,63	0,38	9391,20
51 - 57	58	16	100	10000	1,00	0,60	

- Tiang kemiringan 1 : 5 → jarak antara spring = 3,4 ; diameter tiang = 0,6 m.

Tabel 4. 6. Perhitungan K_s Untuk Kemiringan Tiang 1 : 5

Elevasi	N-SPT	no spring	kh (N/cm ³)	kh (ton/m ³)	L elemen (m)	A (m ²)	ks (ton/m)
2 - 13	1	1	4	400	1,70	1,02	407,92
		2	4	400	3,40	2,04	815,84
		3	4	400	3,40	2,04	815,84
		4	4	400	2,71	1,63	977,76
13 - 30	4	4	8	800	0,68	0,41	
		5	8	800	3,40	2,04	1631,68
		6	8	800	3,40	2,04	1631,68
		7	8	800	3,40	2,04	1631,68
		8	8	800	3,40	2,04	1631,68
		9	8	800	3,05	1,83	2440,00
30 - 36	24	9	47	4700	0,35	0,21	
		10	48	4800	3,40	2,04	9790,09
		11	47	4700	2,37	1,42	10388,67
36 - 42	35	11	60	6000	1,03	0,62	
		12	60	6000	3,40	2,04	12237,61
		13	60	6000	1,70	1,02	15297,01
42 - 51	48	13	90	9000	1,70	1,02	
		14	90	9000	3,40	2,04	18356,41
		15	90	9000	3,40	2,04	18356,41
		16	90	9000	0,70	0,42	9778,21
51 - 57	58	16	100	10000	1,00	0,60	

- Tiang kemiringan 1 : 6 → jarak antara spring = 3,38 ; diameter tiang = 0,6 m.

Tabel 4. 7. Perhitungan K_s Untuk Kemiringan Tiang 1 : 6

Elevasi	N-SPT	no spring	kh (N/cm ³)	kh (ton/m ³)	L elemen (m)	A (m ²)	ks (ton/m)
2 - 13	1	1	4	400	1,69	1,01	405,52
		2	4	400	3,38	2,03	811,03
		3	4	400	3,38	2,03	811,03
		4	4	400	2,70	1,62	973,99
13 - 30	4	4	8	800	0,68	0,41	
		5	8	800	3,38	2,03	1622,07
		6	8	800	3,38	2,03	1622,07
		7	8	800	3,38	2,03	1622,07
		8	8	800	3,38	2,03	1622,07
		9	8	800	3,04	1,82	2426,89
30 - 36	24	9	47	4700	0,34	0,21	
		10	48	4800	3,38	2,03	9732,41
		11	47	4700	2,36	1,42	10327,98
36 - 42	35	11	60	6000	1,02	0,61	
		12	60	6000	3,38	2,03	12165,51
		13	60	6000	1,69	1,01	15206,89
42 - 51	48	13	90	9000	1,69	1,01	
		14	90	9000	3,38	2,03	18248,27
		15	90	9000	3,38	2,03	18248,27
		16	90	9000	0,69	0,41	9724,14
51 - 57	58	16	100	10000	1,00	0,60	

- Tiang kemiringan 1 : 7 → jarak antara spring = 3,37 ; diameter tiang = 0,6 m.

Tabel 4. 8. Perhitungan K_s Untuk Kemiringan Tiang 1 : 7

Elevasi	N-SPT	no spring	kh (N/cm ³)	kh (ton/m ³)	L elemen (m)	A (m ²)	ks (ton/m)
2 - 13	1	1	4	400	1,68	1,01	404,06
		2	4	400	3,37	2,02	808,12
		3	4	400	3,37	2,02	808,12
		4	4	400	2,69	1,61	972,79
13 - 30	4	4	8	800	0,68	0,41	
		5	8	800	3,37	2,02	1616,24
		6	8	800	3,37	2,02	1616,24
		7	8	800	3,37	2,02	1616,24
		8	8	800	3,37	2,02	1616,24
		9	8	800	3,01	1,81	2461,64
30 - 36	24	9	47	4700	0,36	0,22	
		10	48	4800	3,37	2,02	9697,46
		11	47	4700	2,33	1,40	10314,44
36 - 42	35	11	60	6000	1,04	0,62	
		12	60	6000	3,37	2,02	12121,83
		13	60	6000	1,68	1,01	15152,29
42 - 51	48	13	90	9000	1,68	1,01	
		14	90	9000	3,37	2,02	18182,75
		15	90	9000	3,37	2,02	18182,75
		16	90	9000	0,68	0,41	9691,37
51 - 57	58	16	100	10000	1,00	0,60	

4.2.4 Kombinasi Beban

Pada penilitian ini, kombinasi beban terfaktor dan tidak terfaktor yang digunakan untuk mengecek kapasitas elemen struktur adalah:

1. Kombinasi tidak terfaktor

- Beban mati (D)
- Beban hidup (L)
- Tambat (Be)
- Tarik (Tr1, Tr2, Tr3, Tr-C, Tr-W)
- Gempa (E)

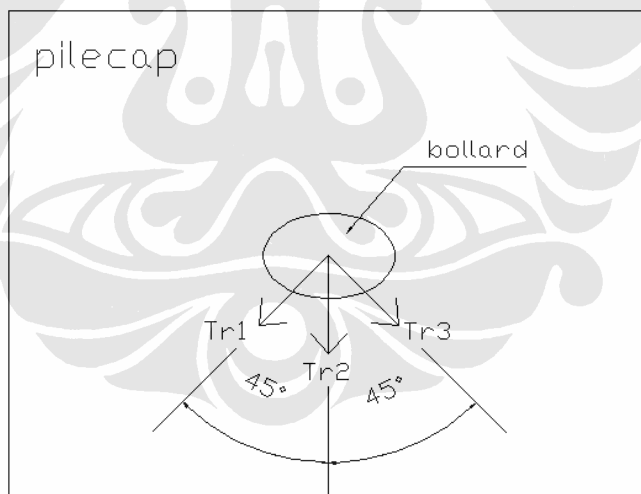
Kombinasi beban ini yang akan digunakan untuk mengecek kapasitas tiang dilihat dari defleksi yang terjadi.

2. Kombinasi terfaktor:

- *Vacant condition* → 1,2 D + 1,6 L

- *Earthquake condition* → $1,2 D + 0,5 L + 1 E$
- Gaya vertikal → $1,2 D + 1,6 L$
- *Berthing condition*
 - Akibat gaya tambat kapal → $1,2 D + 1,6 L + 1,6 Be$
 - Gaya tambat akibat gaya arus pada kapal → $1,2 D + 1,6 L + 1,6 Be-C$
 - Gaya tambat akibat gaya angin pada kapal → $1,2 D + 1,6 L + 1,6 Be-W$
- *Mooring condition*
 - Akibat gaya tarik kapal (kasus 1) → $1,2 D + 1,6 L + 1,3 Tr1$
 - Akibat gaya tarik kapal (kasus 2) → $1,2 D + 1,6 L + 1,3 Tr2$
 - Akibat gaya tarik kapal (kasus 3) → $1,2 D + 1,6 L + 1,3 Tr3$
 - Gaya tarik akibat gaya arus pada kapal → $1,2 D + 1,6 L + 1,3 Tr-C$
 - Gaya tarik akibat gaya angin pada kapal → $1,2 D + 1,6 L + 1,3 Tr-W$

Untuk gaya tarik kapal terdapat tiga kasus, karena arah tarik kapal pada saat kapal bertambat dapat berbeda-beda, seperti yang digambarkan pada gambar 4. 4.



Gambar 4. 4. Arah Gaya Tarik Kapal

4.3 DAYA DUKUNG TANAH

4.3.1 Daya Dukung Lateral Tanah

Dalam sub-bab ini akan dijelaskan mengenai perhitungan kapasitas ultimit tiang akibat pembebanan lateral pada tiang, dimana perhitungan dilakukan dengan metode P-Y analysis (Tabel 4.9). Seperti yang telah dijelaskan pada bab

sebelumnya, analisis ini dilakukan dengan menggunakan beberapa persamaan yang telah dijelaskan pada sub-bab 2.6.3.

Tabel 4. 9. Perhitungan Persamaan *P-Y Analysis*

Elevasi	no spring	z (m)	γ sat (ton/m3)	γ w (ton/m3)	Cu (ton/m2)	ϕ	ε 50	Pu (ton/m2)	Pu x 0,5	γ 50	δ y50
2 - 13	1	0	1,4	1	2	0	0,02	3,60	1,80	0,03	0,24
	2	3,33	1,4	1	2	0	0,02	9,73	4,86	0,03	0,24
	3	6,66	1,4	1	2	0	0,02	15,85	7,93	0,03	0,24
	4	9,99	1,4	1	3	0	0,02	28,78	14,39	0,03	0,24
13 - 30	5	13,3	1,5	1	4	0	0,02	45,83	22,91	0,03	0,24
	6	16,7	1,5	1	4	0	0,02	55,49	27,74	0,03	0,24
	7	20	1,5	1	4	0	0,02	65,14	32,57	0,03	0,24
	8	23,3	1,5	1	4	0	0,02	74,80	37,40	0,03	0,24
	9	26,6	1,5	1	5,75	0	0,02	110,92	55,46	0,03	0,24
30 - 36	10	30	1,5	1	7,5	0	0,02	152,86	76,43	0,03	0,24
	11	33,3	1,5	1	8,75	0	0,02	191,41	95,70	0,03	0,24
36 - 42	12	36,6	1,5	1	10	0	0,005	234,12	117,06	0,0075	0,06
	13	40	1,5	1	10	0	0,005	253,76	126,88	0,0075	0,06
42 - 51	14	43,3	1,5	1	10	8	0,005	273,41	136,71	0,0075	0,06
	15	46,6	1,5	1	10	8	0,005	293,06	146,53	0,0075	0,06
51 - 57	16	50	1,65	1	12,5	10	0,005	384,14	192,07	0,0075	0,06

Sedangkan untuk menghitung gaya reaksi total tanah yang terjadi pada elemen pada masing-masing pegas adalah:

Dimana: F : gaya (ton)

P : soil resistance (ton/m)

L : panjang elemen pegas (m)

Tabel 4. 10. Kurva P-Y

Z = 0 m, L_{elemen}: 1,7 m

P (ton/m)	Gaya (ton)	Y (m)
0.00	0.00	0
1.80	3.06	0.03
2.27	3.85	0.06
2.60	4.41	0.09
2.86	4.86	0.12
3.08	5.23	0.15
3.27	5.56	0.18
3.44	5.85	0.21
3.60	6.12	0.24

Z = 16,7 m, L_{elemen}: 3,4 m

P (ton/m)	Gaya (ton)	Y (m)
0.00	0.00	0
27.74	94.32	0.03
34.95	118.84	0.06
40.01	136.04	0.09
44.04	149.73	0.12
47.44	161.29	0.15
50.41	171.40	0.18
53.07	180.44	0.21
55.49	188.65	0.24

Z = 36,6 m, L_{elemen}: 3,4 m

P (ton/m)	Gaya (ton)	Y (m)
0.00	0.00	0
128.84	438.05	0.01
162.33	551.91	0.02
185.82	631.78	0.03
204.52	695.37	0.04
220.31	749.06	0.05
234.12	796.00	0.06

Z = 3,33 m, L_{elemen}: 3,4 m

P (ton/m)	Gaya (ton)	Y (m)
0.00	0.00	0
4.86	16.53	0.03
6.13	20.83	0.06
7.01	23.84	0.09
7.72	26.24	0.12
8.32	28.27	0.15
8.84	30.04	0.18
9.30	31.63	0.21
9.73	33.07	0.24

Z = 20 m, L_{elemen}: 3,4 m

P (ton/m)	Gaya (ton)	Y (m)
0.00	0.00	0
32.57	110.74	0.03
41.04	139.53	0.06
46.98	159.72	0.09
51.70	175.79	0.12
55.70	189.37	0.15
59.19	201.23	0.18
62.31	211.84	0.21
65.14	221.48	0.24

Z = 40 m, L_{elemen}: 3,4 m

P (ton/m)	Gaya (ton)	Y (m)
0.00	0.00	0
139.65	474.82	0.01
175.95	598.23	0.02
201.41	684.80	0.03
221.68	753.72	0.04
238.80	811.92	0.05
253.76	862.80	0.06

Z = 6,66 m, L_{elemen}: 3,4 m

P (ton/m)	Gaya (ton)	Y (m)
0.00	0.00	0
7.93	26.95	0.03
9.99	33.96	0.06
11.43	38.87	0.09
12.58	42.78	0.12
13.56	46.09	0.15
14.40	48.98	0.18
15.16	51.56	0.21
15.85	53.90	0.24

Z = 23,3 m, L_{elemen}: 3,4 m

P (ton/m)	Gaya (ton)	Y (m)
0.00	0.00	0
37.40	127.16	0.03
47.12	160.21	0.06
53.94	183.39	0.09
59.37	201.85	0.12
63.95	217.44	0.15
67.96	231.06	0.18
71.54	243.25	0.21
74.80	254.32	0.24

Z = 43,3 m, L_{elemen}: 3,4 m

P (ton/m)	Gaya (ton)	Y (m)
0.00	0.00	0
150.46	511.58	0.01
189.57	644.55	0.02
217.01	737.82	0.03
238.85	812.08	0.04
257.29	874.78	0.05
273.41	929.60	0.06

Z = 9,99 m, L_{elemen}: 3,4 m

P (ton/m)	Gaya (ton)	Y (m)
0.00	0.00	0
14.39	48.92	0.03
18.13	61.64	0.06
20.75	70.56	0.09
22.84	77.66	0.12
24.60	83.65	0.15
26.15	88.89	0.18
27.52	93.58	0.21
28.78	97.84	0.24

Z = 26,6 m, L_{elemen}: 3,4 m

P (ton/m)	Gaya (ton)	Y (m)
0.00	0.00	0
55.46	188.56	0.03
69.87	237.57	0.06
79.98	271.95	0.09
88.03	299.32	0.12
94.83	322.43	0.15
100.77	342.63	0.18
106.09	360.70	0.21
110.92	377.11	0.24

Z = 46,6 m, L_{elemen}: 3,4 m

P (ton/m)	Gaya (ton)	Y (m)
0.00	0.00	0
161.28	548.34	0.01
203.20	690.86	0.02
232.60	790.84	0.03
256.01	870.43	0.04
275.78	937.65	0.05
293.06	996.40	0.06

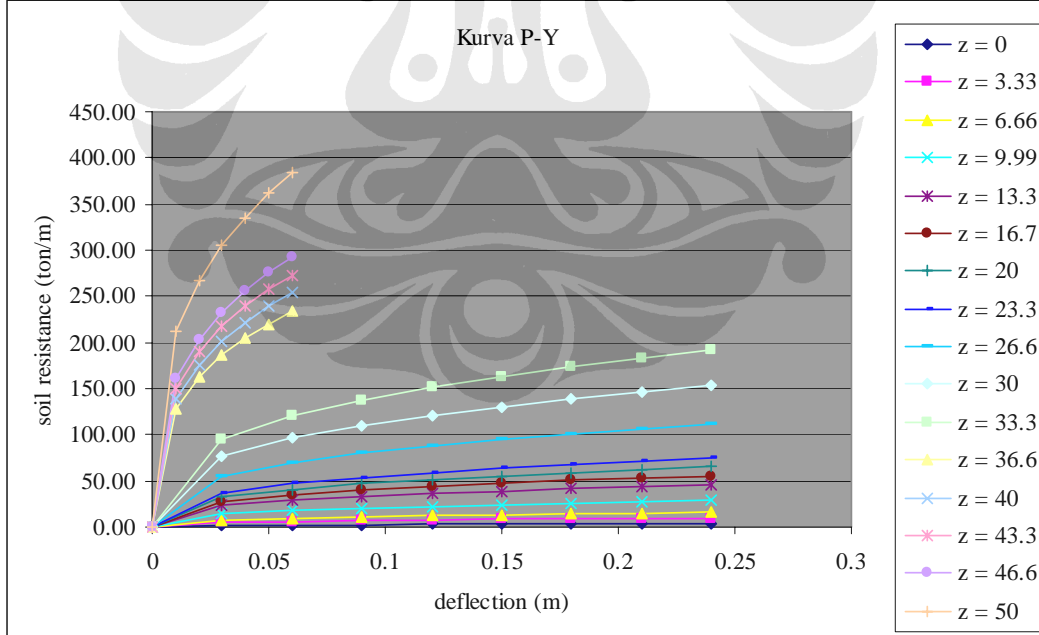
Z = 13,3 m, L _{elemen} : 3,4 m	P (ton/m)	Gaya (ton)	Y (m)
0.00	0.00	0.00	0
22.91	77.91	0.03	
28.87	98.16	0.06	
33.05	112.36	0.09	
36.37	123.67	0.12	
39.18	133.22	0.15	
41.64	141.57	0.18	
43.83	149.03	0.21	
45.83	155.82	0.24	

Z = 30 m, L _{elemen} : 3,4 m	P (ton/m)	Gaya (ton)	Y (m)
0.00	0.00	0.00	0
76.43	259.86	0.03	
96.30	327.41	0.06	
110.23	374.79	0.09	
121.33	412.51	0.12	
130.69	444.36	0.15	
138.88	472.20	0.18	
146.21	497.10	0.21	
152.86	519.73	0.24	

Z = 50 m, L _{elemen} : 1,7 m	P (ton/m)	Gaya (ton)	Y (m)
0.00	0.00	0.00	0
211.40	718.76	0.01	
266.35	905.58	0.02	
304.89	1036.63	0.03	
335.58	1140.96	0.04	
361.49	1229.06	0.05	
384.14	1306.07	0.06	

Z = 33,3 m, L_{elemen}: 3,4 m

Z = 33,3 m, L _{elemen} : 3,4 m	P (ton/m)	Gaya (ton)	Y (m)
0.00	0.00	0.00	0
95.70	325.39	0.03	
120.58	409.97	0.06	
138.03	469.30	0.09	
151.92	516.53	0.12	
163.65	556.41	0.15	
173.91	591.28	0.18	
183.07	622.45	0.21	
191.41	650.79	0.24	



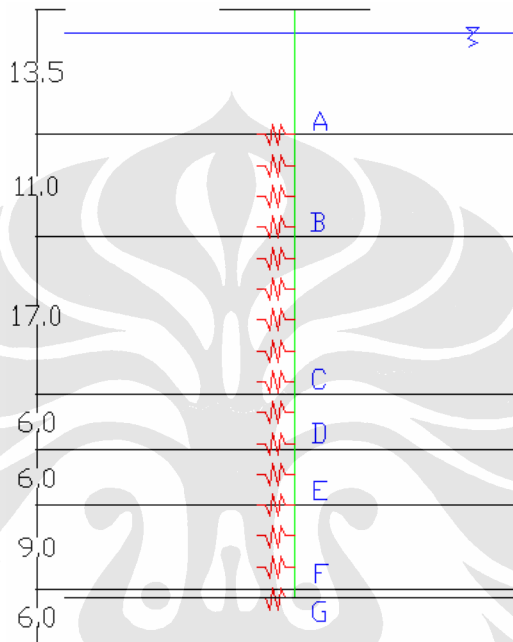
Gambar 4. 5. Kurva P-Y di Setiap Kedalaman Pegas pada Tiang

Hasil perhitungan daya dukung lateral dengan *P-Y analysis* ini, nantinya akan digunakan sebagai input SAP2000 pada modelisasi struktur dengan pegas

non-linier. Hal ini dilakukan agar dapat diketahui kemampuan batas tanah pada saat dibebani melalui grup tiang. Jadi, jika tanah sudah tidak mampu lagi menahan beban yang ada, maka pegas (tanah) akan bersifat plastis.

4.3.2 Daya Dukung Aksial Tanah

Dalam sub-bab ini akan dijelaskan mengenai perhitungan kapasitas ultimit tiang akibat pembebangan aksial pada tiang.



Gambar 4. 6. Profil Tanah

- Data

Tabel 4. 11. Data Tanah

z (m)	γ_{sat} (kN/m³)	γ_w (kN/m³)	Cu (kN/m²)	Φ
11	14	10	20	0
17	15	10	40	0
6	15	10	75	0
6	15	10	100	0
9	15	10	100	8
6	16,5	10	150	10

Panjang tiang vertikal = 63,5 m

Diameter tiang = 0,6 m, tebal tiang = 0,1 m

$$\text{Luas penampang tiang} = \frac{\pi}{4} (0,6^2 - 0,4^2) = 0,1571 \text{ m}^2$$

- Tegangan efektif

$$\sigma_A = 0$$

$$\sigma_B = 11 \times (14 - 10) = 44 kN / m^2$$

$$\sigma_C = 44 + 17 \times (15 - 10) = 129 kN / m^2$$

$$\sigma_D = 129 + 6 \times (15 - 10) = 159 kN / m^2$$

$$\sigma_E = 159 + 6 \times (15 - 10) = 189 kN / m^2$$

$$\sigma_F = 189 + 9 \times (15 - 10) = 234 kN / m^2$$

$$\sigma_G = 234 + 6 \times (16,5 - 10) = 273 kN / m^2$$

- Tahanan gesek dinding tiang dengan tanah

- Lapisan 1 → lempung

$$\alpha = 0,85 \rightarrow \text{grafik tomlinson (Gb 2.23.)}$$

$$C_a = \alpha \times C_u = 0,85 \times 20 = 17 kN / m^2$$

$$Q_f = C_a \times A_s = 17 (\pi \times 0,6 \times 11) = 3877,35 kN$$

- Lapisan 2 → lempung

$$\alpha = 0,78$$

$$C_a = 0,78 \times 40 = 31,2 kN / m^2$$

$$Q_f = 31,2 (\pi \times 0,6 \times 17) = 16996,27 kN$$

- Lapisan 3 → lempung

$$\alpha = 0,7$$

$$C_a = 0,7 \times 75 = 52,5 kN / m^2$$

$$Q_f = 52,5 (\pi \times 0,6 \times 6) = 3562,566 kN$$

- Lapisan 4 → lempung

$$\alpha = 0,68$$

$$C_a = 0,68 \times 100 = 68 kN / m^2$$

$$Q_f = 68 (\pi \times 0,6 \times 6) = 4614,37 kN$$

- Lapisan 5 → lanau

$$\alpha = 0,68$$

$$C_a = 0,68 \times 100 = 68 kN / m^2$$

$$\phi_a = 0,75\phi = 7,5 \rightarrow \text{untuk tiang beton (tabel 2.21. Broms)}$$

$$\overline{\sigma_v} = \sigma_{vE} + \sigma_{vF} / 2 = 211,5 kN / m^2$$

$$K_s = 1 \rightarrow \text{low Dr, } \phi_a < 28$$

$$Q_f = (C_a \times A_s) + (\overline{\sigma_v} \times K_s \times \tan \phi_a) = 10404,56 kN$$

- Lapisan 6 → lanau

$$\alpha = 0,68$$

$$C_a = 0,68 \times 100 = 68 kN/m^2$$

$$\phi_a = 0,75\phi = 7,5$$

$$\overline{\sigma_v} = \sigma_{vF} + \sigma_{vG}/2 = 253,5 kN/m^2$$

$$K_s = 1 \rightarrow \text{low Dr}, \phi_a < 28$$

$$Q_f = (C_a \times A_s) + (\overline{\sigma_v} \times K_s \times \tan \phi_a) = 6649,57 kN$$

- Tahanan gesek total = 46104,69 kN

- Tahanan ujung tiang → lanau

$$N_c = 16, N_q = 3,5 \rightarrow \text{grafik Meyerhoff (Gb 2.24.)}$$

$$f_b = cN_c + \sigma_v N_q = 150 \times 16 + 273 \times 3,5 = 3355,5 kN/m^2$$

$$Q_b = f_b \times A = 3355,5 \times 0,1571 = 527,081 kN$$

- Berat sendiri tiang

$$W_p = A \times l_{tiang} \times \gamma_{beton} = 0,157 \times 63,5 \times 24 = 239,389 kN$$

- Tahanan ultimit tiang

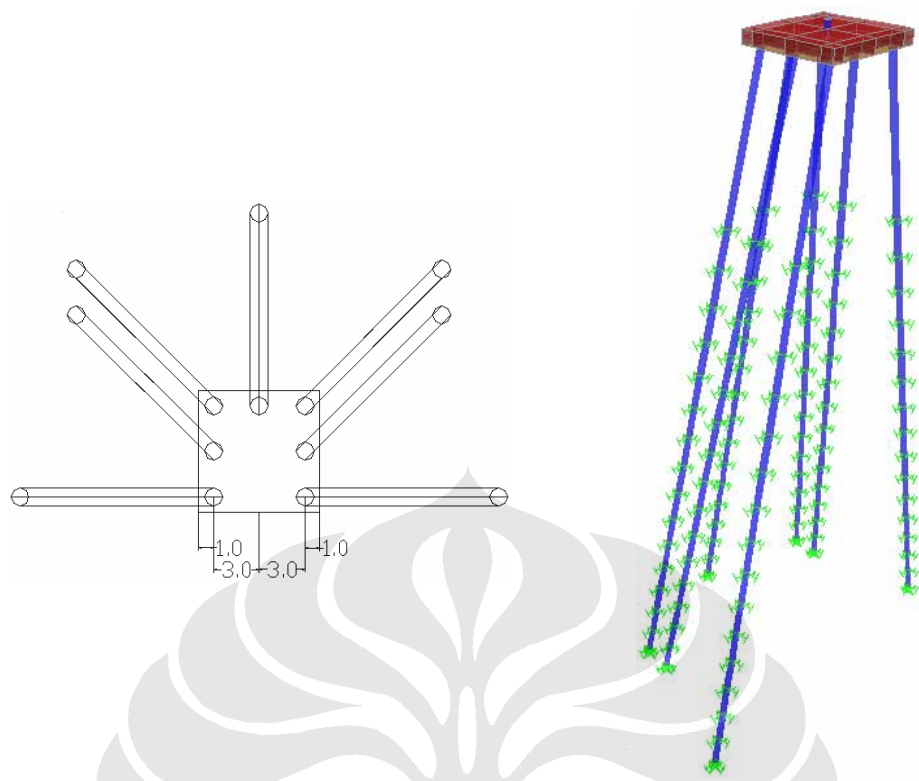
$$Q_u = Q_f + Q_b - W_p = 46392,383 kN = 4639,2 ton$$

$$Q_{SF} = \frac{4639,2}{3} = 1564,4 ton$$

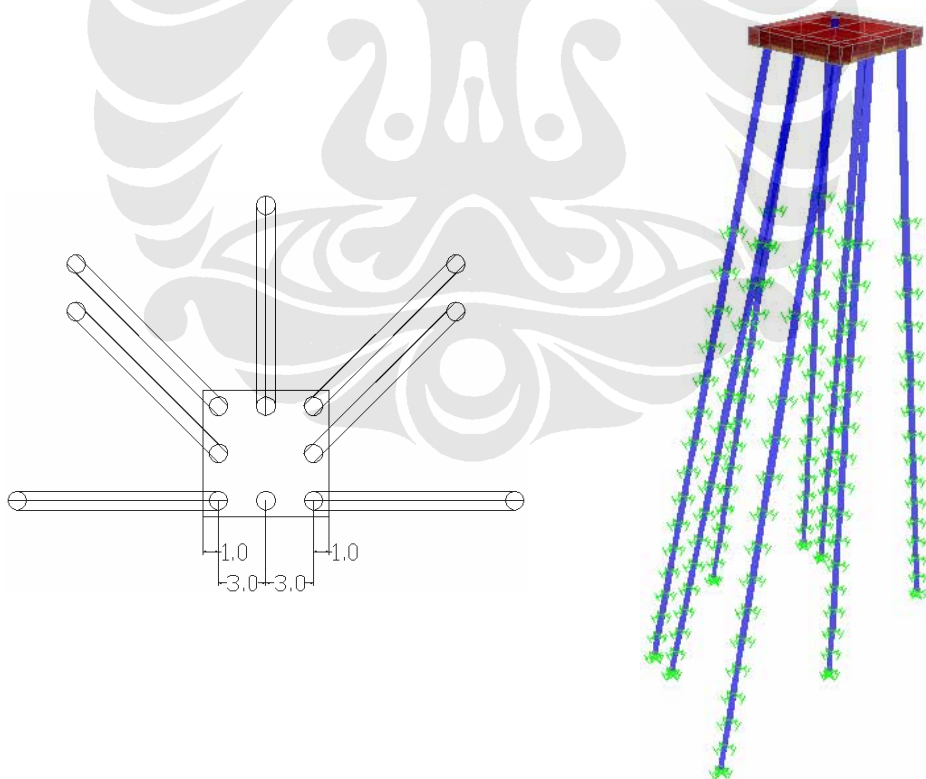
4.4 HASIL ANALISA PONDASI RIGID PADA SAP2000

4.4.1 Bentuk Modelisasi

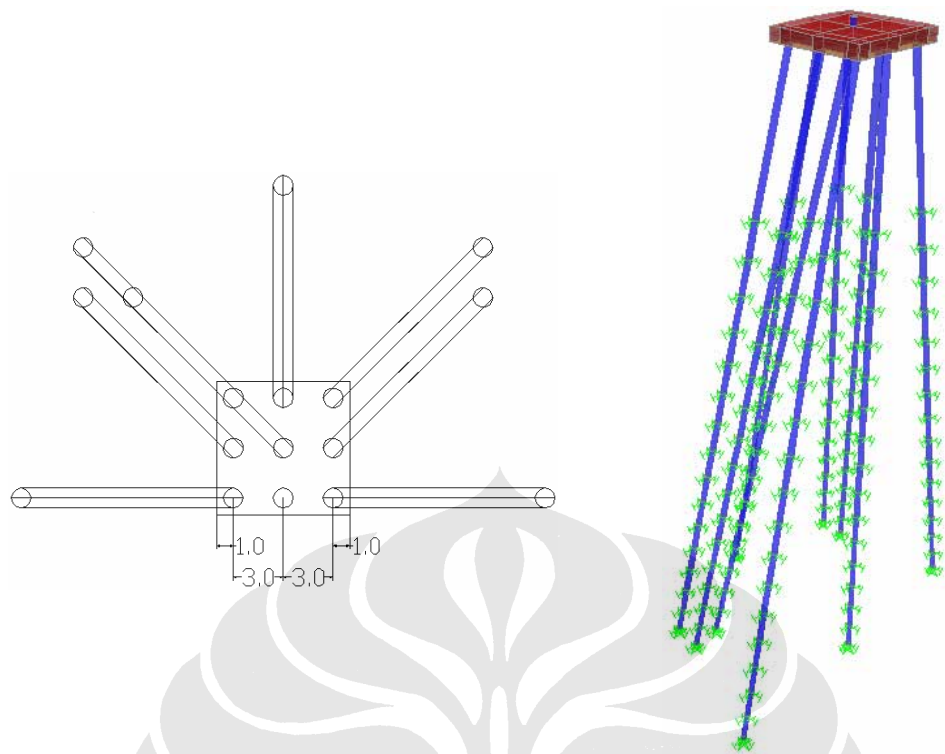
Gambar 4.7 sampai gambar 4.16 mengilustrasikan bentuk modelisasi struktur yang telah dilakukan.



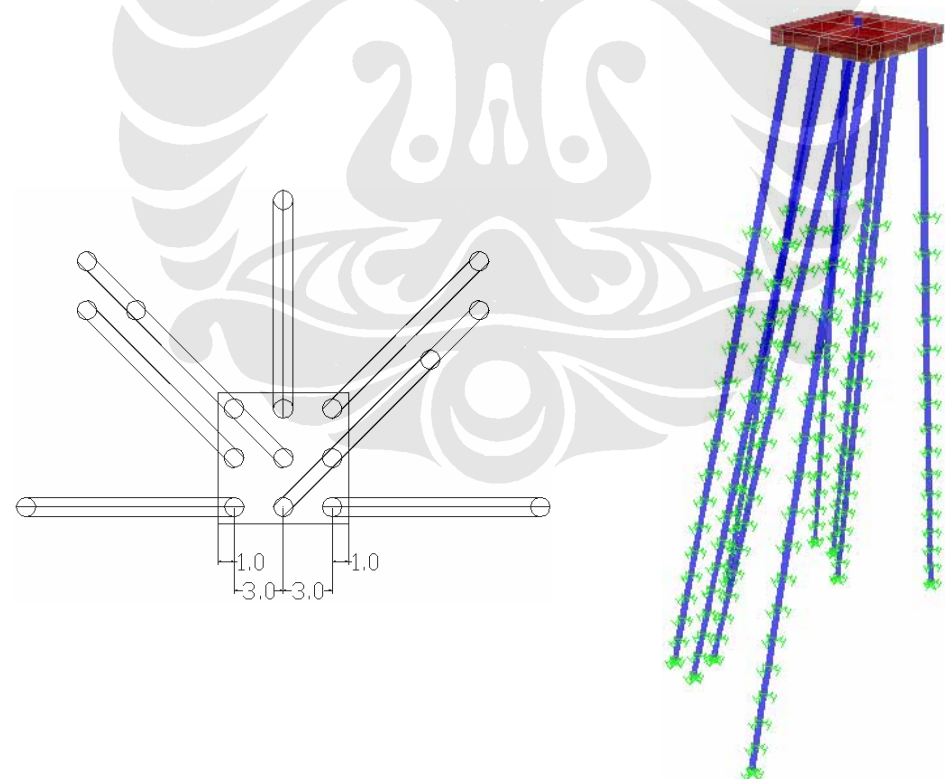
Gambar 4. 7. Modelisasi 1



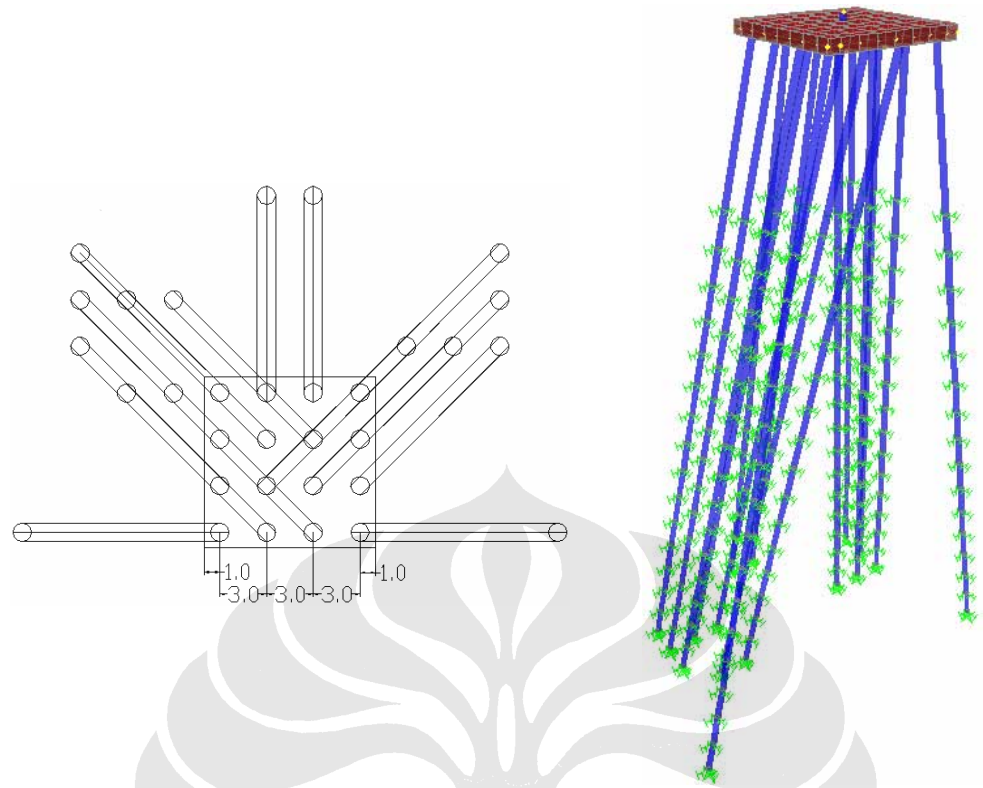
Gambar 4. 8. Modelisasi 2



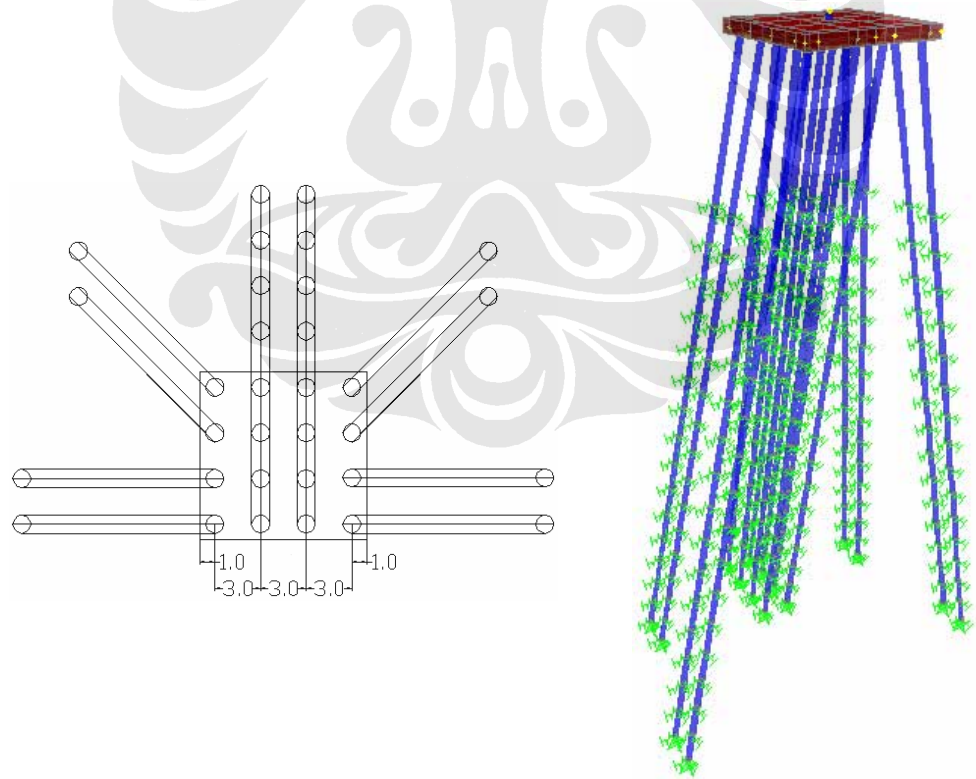
Gambar 4. 9. Modelisasi 3



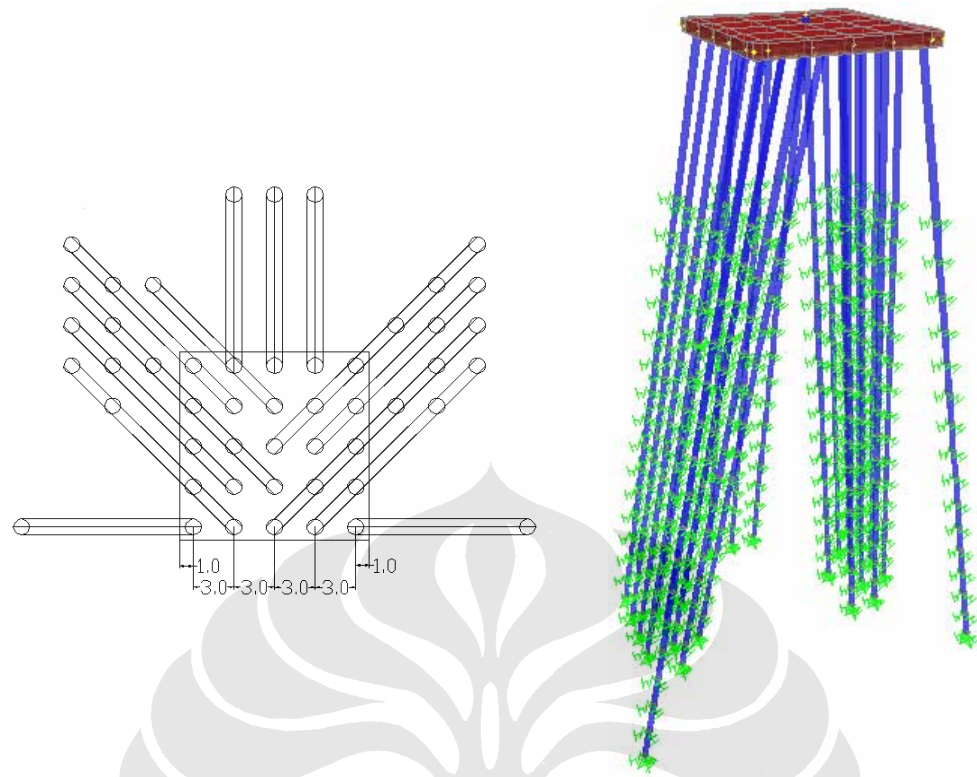
Gambar 4. 10. Modelisasi 4



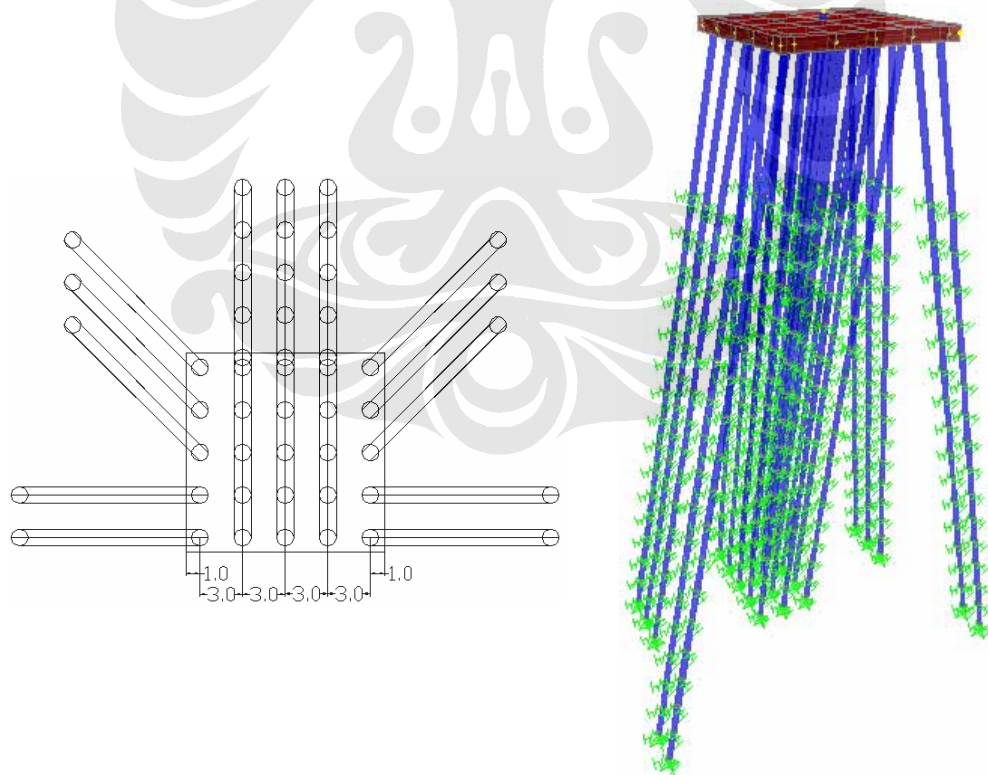
Gambar 4. 11. Modelisasi 5



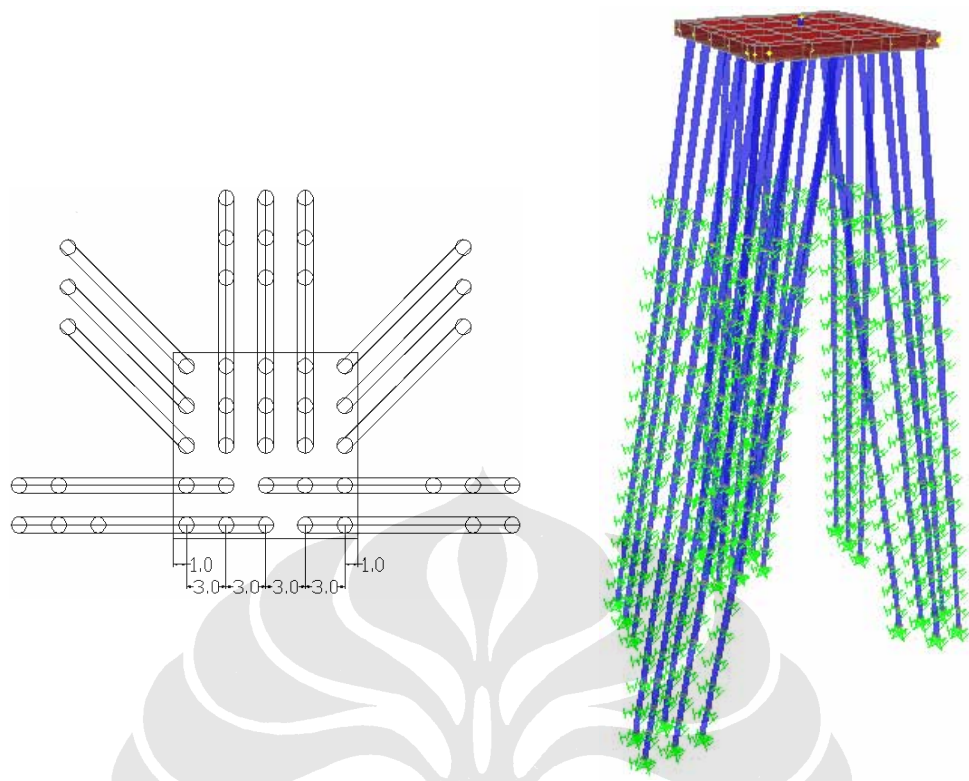
Gambar 4. 12. Modelisasi 6



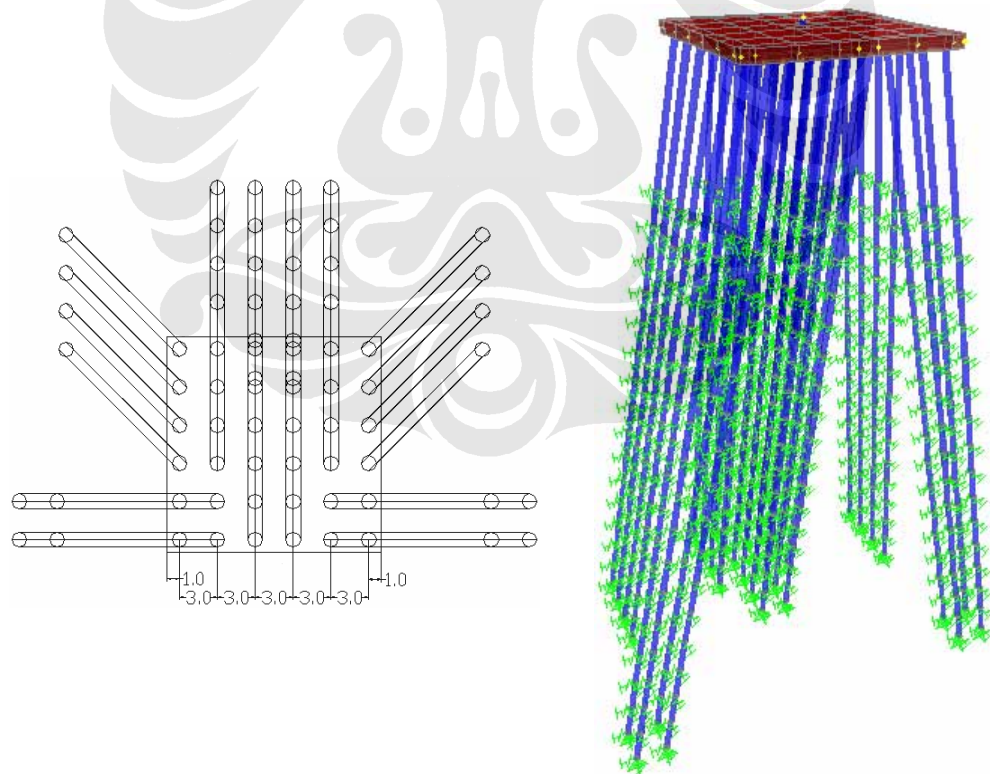
Gambar 4. 13. Modelisasi 7



Gambar 4. 14. Modelisasi 8



Gambar 4. 15. Modelisasi 9



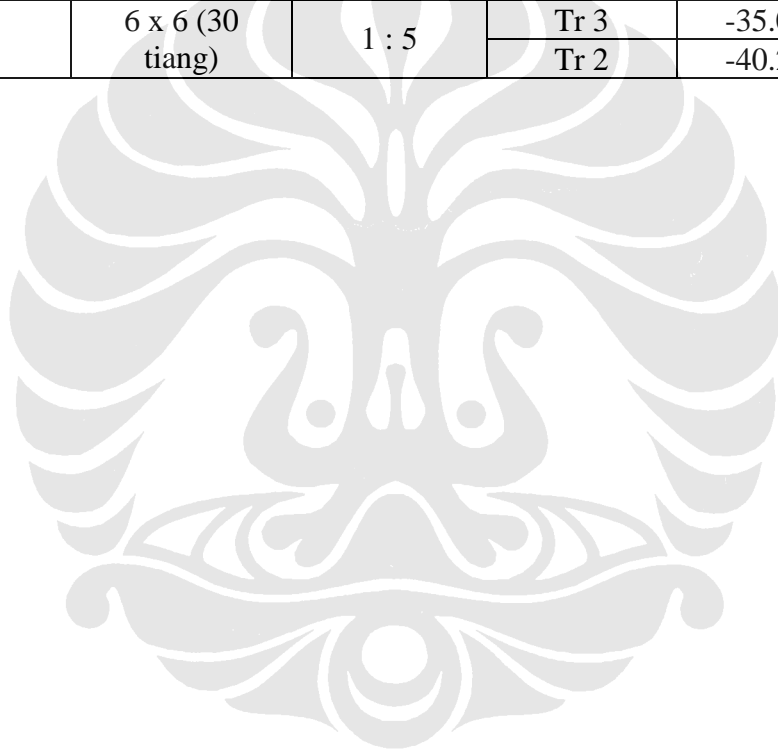
Gambar 4. 16. Modelisasi 10

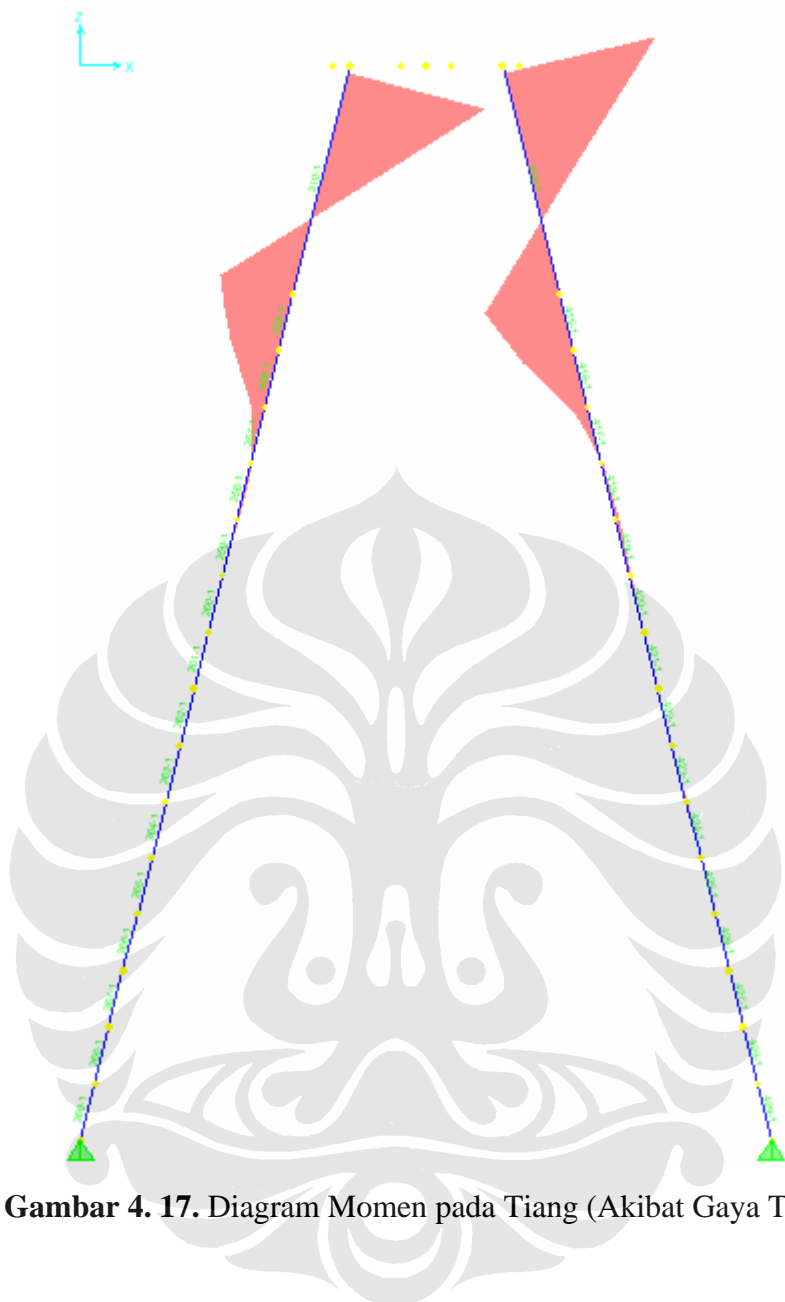
Pada modelisasi struktur yang telah dilakukan, keseluruhan struktur dilakukan analisa dengan linier-statis. Namun pada modelisasi akhir yang sudah dianggap sebagai modelisasi struktur yang efektif dan efisien, akan dilakukan juga analisa non-linier. Hal ini bertujuan untuk memeriksa apakah kapasitas pegas (tanah) mampu menahan beban luar lateral yang terjadi pada struktur.

Tabel 4. 12. Output SAP2000 (Mu dan Pu Kombinasi Terfaktor)

Modelisasi	Jumlah tiang	Kemiringan	Kombinasi terfaktor		
			Jenis Beban	Mu (ton.m)	Pu (ton)
1	3 x 3 (7 tiang)	1 : 5	Tr 3	57.40	-217.04
			Tr 2	-127.97	-181.75
		1 : 6	Tr 3	59.08	-215.10
			Tr 2	-132.12	-178.10
		1 : 7	Tr 1	-60.18	-212.65
			Tr 2	-134.97	-174.79
2	3 x 3 (8 tiang)	1 : 5	Tr 3	51.51	-160.53
			Tr 2	-115.23	-126.07
		1 : 6	Tr 3	53.30	-160.41
			Tr 2	-117.93	-123.08
		1 : 7	Tr 1	19.64	-159.77
			Tr 2	-119.72	-120.94
3	3 x 3 (9 tiang)	1 : 5	Tr 3	-80.51	-154.92
			Tr 2	-102.35	-128.35
		1 : 6	Tr 3	46.82	-157.18
			Tr 2	-104.67	-104.67
		1 : 7	Tr 3	-82.68	-157.97
			Tr 2	-106.56	-115.70
4	3 x 3 (9 tiang)	1 : 5	Tr 2	54.78	-205.02
			Tr 2	-90.74	-205.02
		1 : 6	Tr 1	16.39	-201.37
			Tr 2	-96.51	-194.68
		1 : 7	Tr 1	16.21	-198.90
			Tr 2	-101.98	-181.47
5	4 x 4 (16 tiang)	1 : 5	Tr 2	-41.14	-185.79
			Tr 2	-74.15	-180.92
6	4 x 4 (16 tiang)	1 : 4	Tr 3	-7.88	-175.17
			Tr 3	-43.57	-48.97
		1 : 5	Tr 1	-8.41	-168.34
			Tr 3	-49.17	-34.13
		1 : 6	Tr 1	7.78	-147.20
			Tr 2	-53.31	-147.74

			1 : 7	Tr 1	8.19	-152.78
				Tr 2	-56.88	-139.71
7	5 x 5 (25 tiang)	1 : 5	Tr 2	33.28	-150.33	
				-53.65	-150.33	
8	5 x 5 (25 tiang)	1 : 4	Tr 1	-21.24	-184.08	
			Tr 2	-42.52	-174.61	
		1 : 5	Tr 1	-22.89	-168.20	
			Tr 2	-45.95	-158.52	
		1 : 6	Tr 1	-23.93	-153.13	
			Tr 2	-48.36	-143.17	
9	5 x 5 (25 tiang)	1 : 7	Tr 3	-38.88	-141.30	
			Tr 2	-49.22	-131.34	
10	6 x 6 (30 tiang)	1 : 5	Tr 3	-8.33	-120.61	
			Tr 1	-46.29	-86.25	
10	6 x 6 (30 tiang)	1 : 5	Tr 3	-35.00	-139.13	
			Tr 2	-40.29	-100.42	

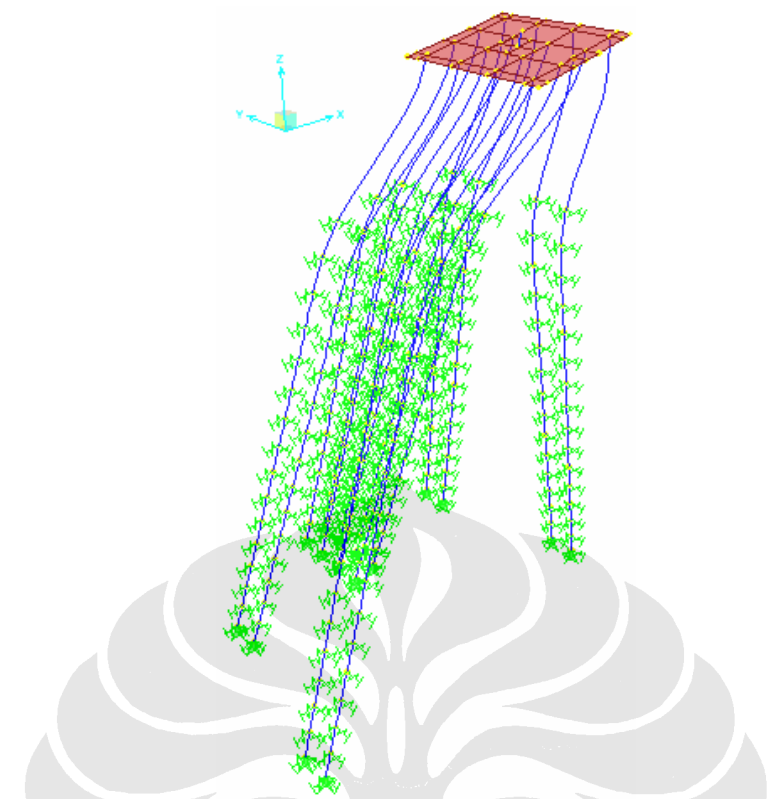




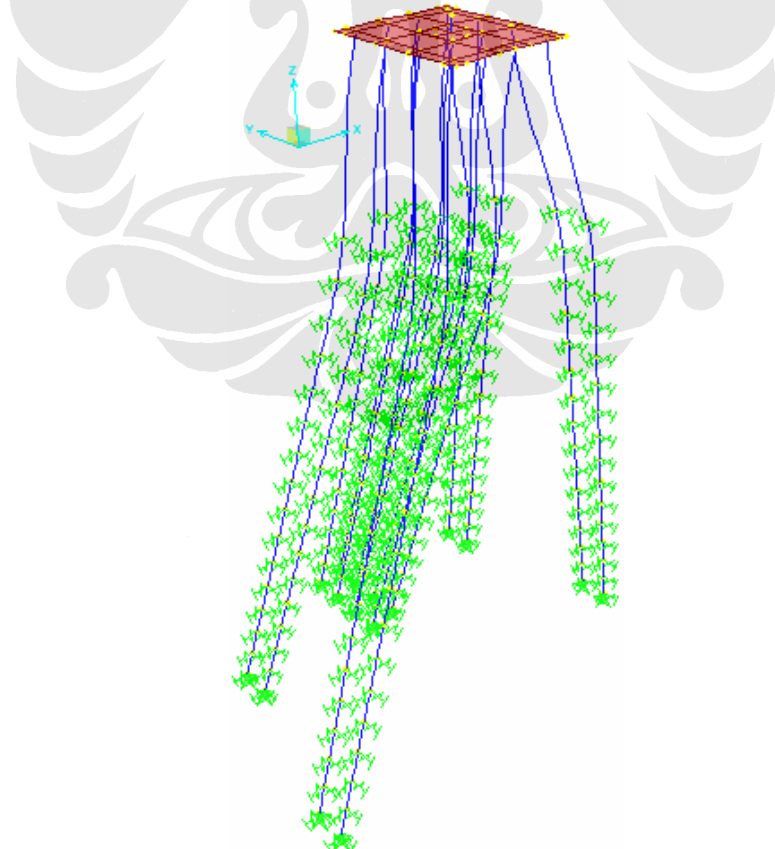
Gambar 4. 17. Diagram Momen pada Tiang (Akibat Gaya Tarik)

Tabel 4. 13. Output SAP2000 (Pu dan Defleksi Kombinasi tidak Terfaktor)

Modelisasi	Jumlah tiang	Kemiringan	Kombinasi tidak terfaktor				
			Jenis Beban	Pu (ton)	Defleksi (cm)		
					U1	U2	U3
1	3 x 3 (7 tiang)	1 : 5	Tarik 3	-118.91	14.50	27.20	5.30
		1 : 6	Tarik 3	-120.22	15.90	29.80	4.79
		1 : 7	Tarik 1	-120.39	17.10	31.80	4.32
2	3 x 3 (8 tiang)	1 : 5	Tarik 3	-91.04	14.07	23.44	4.49
		1 : 6	Tarik 3	-92.55	15.50	25.68	4.04
		1 : 7	Tarik 1	-93.26	16.67	27.45	3.61
3	3 x 3 (9 tiang)	1 : 5	Tarik 3	-87.37	11.32	21.16	3.83
		1 : 6	Tarik 3	-90.79	12.66	23.16	3.40
		1 : 7	Tarik 3	-92.72	13.79	24.72	3.03
4	3 x 3 (9 tiang)	1 : 5	Tarik 2	-114.44	10.95	21.94	3.68
		1 : 6	Tarik 1	-115.92	12.34	23.96	3.34
		1 : 7	Tarik 1	-117.30	13.54	25.54	3.01
5	4 x 4 (16 tiang)	1 : 5	Tarik 2	-85.31	5.13	14.16	2.17
6	4 x 4 (16 tiang)	1 : 4	Tarik 3	-75.06	6.19	7.86	2.11
		1 : 5	Tarik 1	-76.68	-7.25	9.76	1.98
		1 : 6	Tarik 1	-76.22	8.08	11.33	1.83
		1 : 7	Tarik 1	-74.63	8.73	12.62	1.67
7	5 x 5 (25 tiang)	1 : 5	Tarik 2	-62.13	4.14	9.89	1.52
8	5 x 5 (25 tiang)	1 : 4	Mati	-68.08	4.80	6.25	1.56
		1 : 5	Tarik 1	-61.16	5.42	-7.00	1.38
		1 : 6	Tarik 1	-59.32	5.88	8.50	1.25
		1 : 7	Tarik 3	-56.96	6.316	9.22	1.12
9	5 x 5 (25 tiang)	1 : 5	Tarik 3	-53.40	4.57	7.57	1.44
10	6 x 6 (30 tiang)	1 : 5	Mati	-53.02	3.52	5.30	1.29



Gambar 4. 18. Arah Defleksi Akibat Gaya Tambat



Gambar 4. 19. Arah Defleksi Akibat Gaya Tarik

4.4.2 Analisa Beban

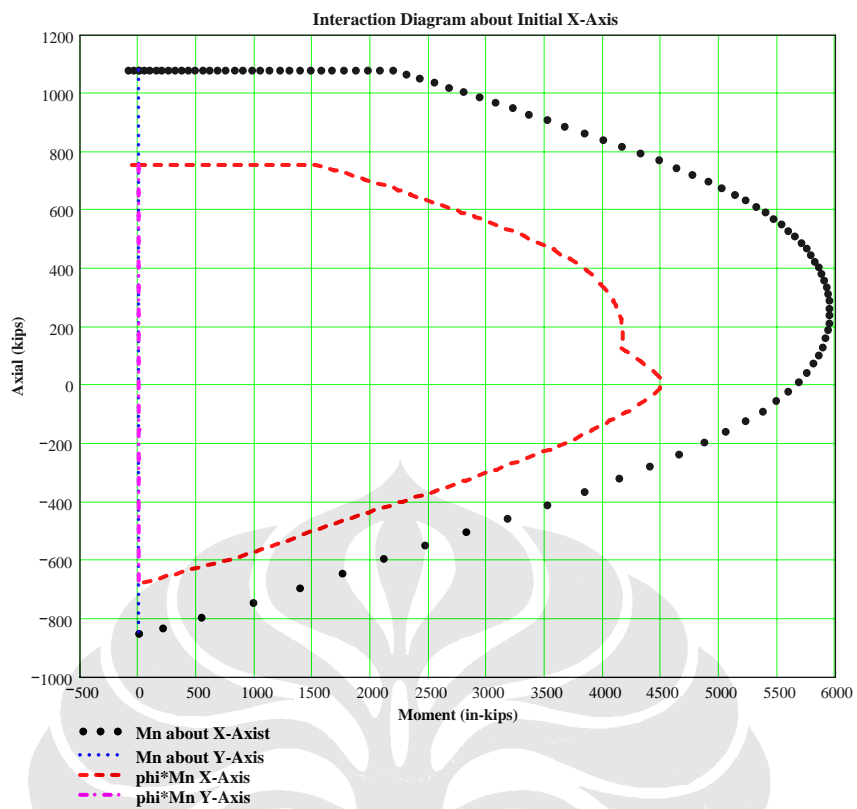
Dari output yang diperoleh, M_u dan P_u diperoleh akibat dari gaya tarik kapal (T_r) yang terjadi. Jadi gaya tarik kapal lebih berpengaruh daripada gaya tambat kapal yang terjadi pada struktur *berthing dolphin* yang ditinjau. Kondisi ini disebabkan oleh gaya tarik yang terjadi lebih besar nilainya dibandingkan gaya tambat, dimana gaya tarik kapal sama dengan 100 ton dan gaya tambat 74,3 ton.

4.4.3 Analisa Daya Dukung Aksial

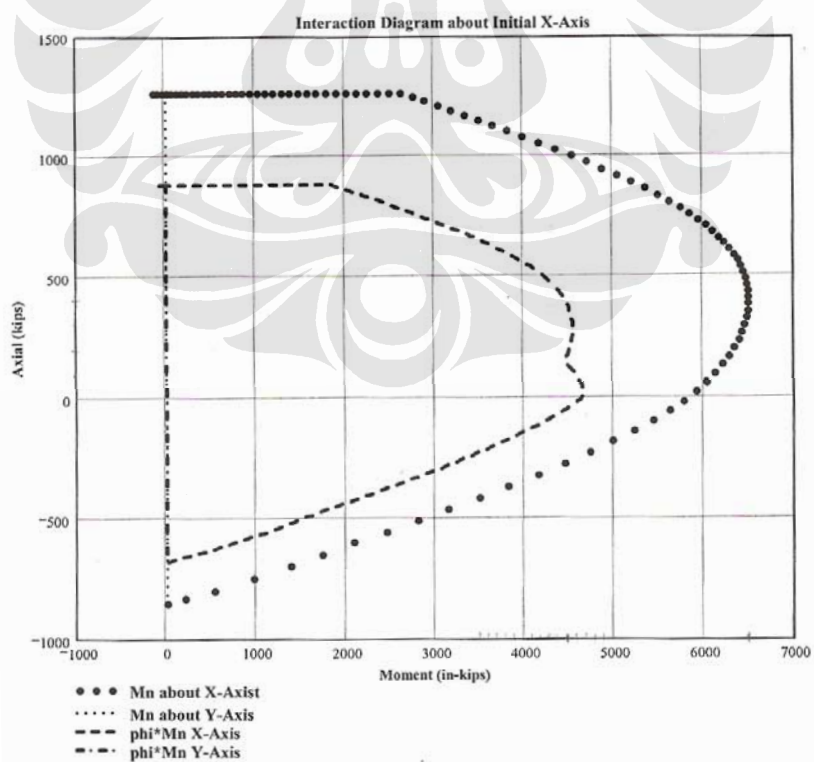
Dari output yang diperoleh, nilai P_u untuk kombinasi tidak terfaktor yang ada, semuanya kurang dari Q_u (daya dukung aksial tanah = 1564,4 ton). Dan nilai-nilai P_u tersebut dapat dianggap masih sangat jauh dibandingkan Q_u . Sehingga dapat disimpulkan bahwa pada modelisasi struktur yang ditinjau, daya dukung aksial tanah tidak terlalu menentukan kapasitas struktur pada keseluruhan sistem dalam mendukung gaya luar yang ada.

4.4.4 Analisa Momen dan Gaya Aksial Ultimit Terhadap Diagram Interaksi

Dari output modelisasi struktur pada SAP2000, yaitu momen ultimit dan gaya aksial ultimit, dapat dilakukan pengecekan terhadap diagram interaksi yang ada. Pengecekan terhadap diagram interaksi ini bertujuan untuk melihat kapasitas tiang setelah diberi beban. Jika M_u dan P_u tiang berada di dalam diagram interaksi, maka tiang tersebut secara struktural dianggap mampu menahan beban yang ada, begitu pula sebaliknya. Gb. 4.20 dan 4.21 adalah diagram interaksi untuk tiang prategang diameter 600 mm dan tebal 100 mm.



Gambar 4. 20. Diagram Interaksi Pile D=600 mm T=100 mm Type C



Gambar 4. 21. Diagram Interaksi Pile D=600 mm T=120 mm Type C

Tabel 4. 14. Mu dan Pu Terhadap Diagram Interaksi

Modelisasi	Jumlah tiang	Kemiringan	Kombinasi terfaktor			Diagram Interaksi	
			Jenis Beban	Mu (in.kips)	Pu (kips)	100 mm	120 mm
1	3 x 3 (7 tiang)	1 : 5	Tr 3	5062.43	-486.18	not OK	not OK
			Tr 2	-11285.77	-407.12	not OK	not OK
		1 : 6	Tr 3	5209.86	-481.82	not OK	not OK
			Tr 2	-11651.10	-398.94	not OK	not OK
		1 : 7	Tr 1	-5306.88	-476.34	not OK	not OK
			Tr 2	-11902.49	-391.54	not OK	not OK
		1 : 5	Tr 3	4542.67	-359.59	not OK	not OK
			Tr 2	-10162.17	-282.40	not OK	not OK
		1 : 6	Tr 3	4700.04	-359.31	not OK	not OK
			Tr 2	-10400.19	-275.71	not OK	not OK
2	3 x 3 (8 tiang)	1 : 7	Tr 1	1731.68	-357.88	OK	OK
			Tr 2	-10557.87	-270.90	not OK	not OK
		1 : 5	Tr 3	-7099.98	-347.03	not OK	not OK
			Tr 2	-9025.77	-287.49	not OK	not OK
		1 : 6	Tr 3	4128.68	-352.09	not OK	OK
			Tr 2	-9230.53	-280.27	not OK	not OK
		1 : 7	Tr 3	-7291.06	-353.86	not OK	not OK
			Tr 2	-9397.49	-259.18	not OK	not OK
3	3 x 3 (9 tiang)	1 : 5	Tr 2	4831.38	-459.24	not OK	not OK
			Tr 2	-8002.43	-459.24	not OK	not OK
		1 : 6	Tr 1	1445.08	-451.07	OK	OK
			Tr 2	-8511.28	-436.08	not OK	not OK
		1 : 7	Tr 1	1429.64	-445.53	OK	OK
			Tr 2	-8993.05	-406.49	not OK	not OK
4	3 x 3 (9 tiang)	1 : 5	Tr 2	-3627.65	-416.17	OK	OK
			Tr 2	-6539.05	-405.26	not OK	not OK
		1 : 4	Tr 3	-694.70	-392.38	OK	OK
			Tr 3	-3842.01	-109.69	OK	OK
		1 : 5	Tr 1	-741.70	-377.08	OK	OK
			Tr 3	-4336.67	-76.46	not OK	OK
		1 : 6	Tr 1	686.15	-329.73	OK	OK
			Tr 2	-4700.95	-330.93	not OK	not OK
6	4 x 4 (16 tiang)	1 : 7	Tr 1	721.99	-342.22	OK	OK
			Tr 2	-5016.18	-312.94	not OK	not OK
		1 : 5	Tr 2	2934.87	-336.74	OK	OK
			Tr 2	-4731.33	-336.75	not OK	not OK
		1 : 4	Tr 1	-1873.17	-412.34	OK	OK
			Tr 2	-3749.70	-391.12	OK	OK
		1 : 5	Tr 1	-2018.40	-376.76	OK	OK
			Tr 2	-4052.54	-355.08	OK	OK
7	5 x 5 (25 tiang)	1 : 5	Tr 2	2934.87	-336.74	OK	OK
			Tr 2	-4731.33	-336.75	not OK	not OK
8	5 x 5 (25 tiang)	1 : 4	Tr 1	-1873.17	-412.34	OK	OK
			Tr 2	-3749.70	-391.12	OK	OK
		1 : 5	Tr 1	-2018.40	-376.76	OK	OK
			Tr 2	-4052.54	-355.08	OK	OK

		1 : 6	Tr 1	-2110.72	-343.02	OK	OK
			Tr 2	-4265.16	-320.70	not OK	OK
		1 : 7	Tr 3	-3428.40	-316.51	OK	OK
			Tr 2	-4340.65	-294.20	not OK	OK
9	5 x 5 (25 tiang)	1 : 5	Tr 3	-734.69	-270.16	OK	OK
			Tr 1	-4081.91	-193.21	OK	OK
10	6 x 6 (30 tiang)	1 : 5	Tr 3	-3086.35	-311.64	OK	OK
			Tr 2	-3552.86	-224.94	OK	OK

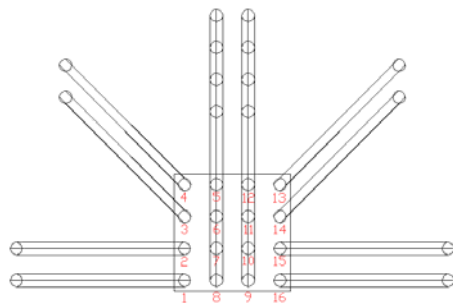
Dari hasil output yang ada, maka dapat disimpulkan bahwa modelisasi struktur yang paling efektif dan efisien terhadap beban-beban luar yang terjadi, adalah modelisasi 6 dengan kemiringan 1 : 4 dengan tebal tiang (Φ 600 mm) 100 mm, dan modelisasi 6 dengan kemiringan 1 : 5 dengan tebal tiang (Φ 600 mm) 120 mm. Modelisasi tersebut dapat dianggap sebagai modelisasi yang paling efektif dan efisien, karena M_u dan P_u model tersebut berada di dalam diagram interaksi untuk tipe tiang model itu sendiri. Selain itu, defleksi yang terjadi pun kecil.

Jadi, pada modelisasi struktur yang ditinjau kapasitas tiang itu sendiri lebih menentukan pada keseluruhan sistem dalam menahan gaya luar yang ada. Sedangkan defleksi tiang yang terjadi tidak terlalu menentukan.

4.4.5 Analisa Distribusi Momen dan Gaya Aksial Maksimum pada Tiang

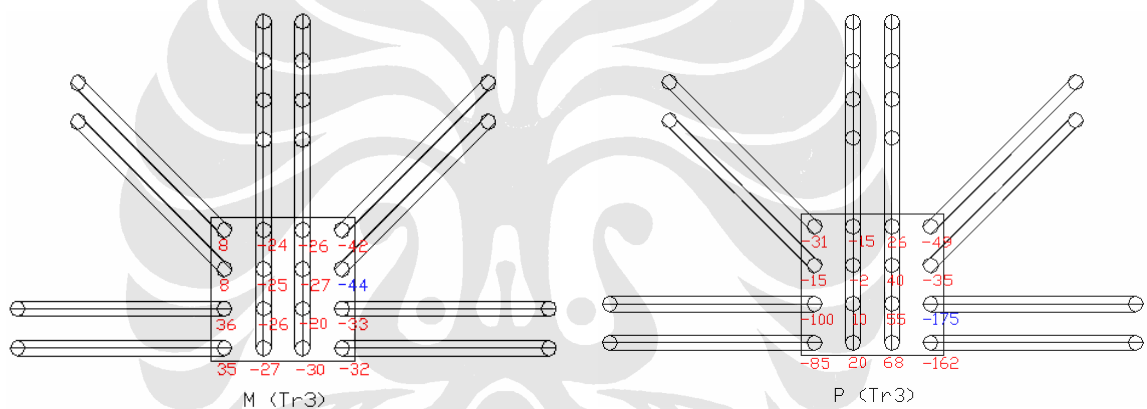
Untuk distribusi momen dan gaya aksial yang terjadi dalam tiang untuk setiap arah dan besar gaya akan berbeda-beda. Tabel 4.15 dan gambar 4.22 menggambarkan distribusi momen dan gaya aksial untuk modelisasi struktur ke-6 yang memiliki kemiringan 1 : 4.

Tabel 4. 15. Distribusi Momen dan Gaya

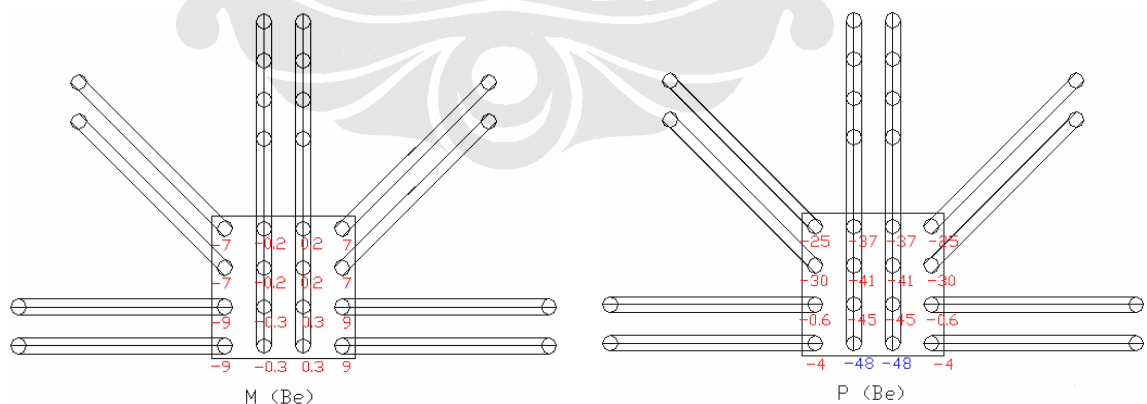


Gambar 4. 22. Urutan Tiang pada Modelisasi 6 (1 : 4)

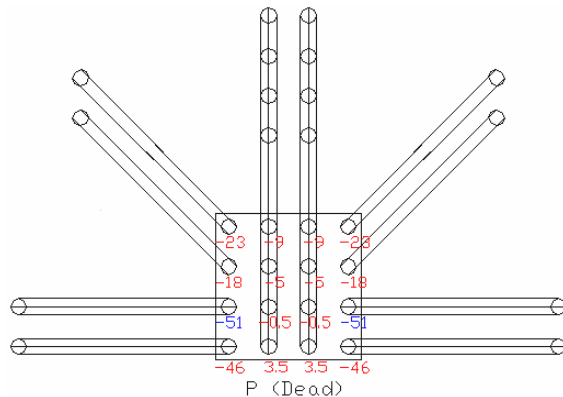
no tiang	Tr3		Tr2		Be		DEAD	
	M	P	M	P	M	P	M	P
1	35,06	-84,77	41,22	-145,52	-8,80	-4,39	10,01	-46,00
2	35,69	-99,79	42,13	-162,29	-8,97	-0,63	10,24	-50,62
3	8,08	-14,92	31,64	-23,47	-6,78	-29,58	7,68	-17,74
4	8,41	-30,70	30,97	-41,97	-6,62	-24,98	7,53	22,63
5	-24,08	-14,80	0,97	14,17	-0,20	-37,01	0,25	-9,29
6	-24,88	-2,46	1,25	30,07	-0,22	-41,13	0,33	-5,02
7	-25,58	9,55	1,81	45,89	-0,33	-45,13	0,44	-0,51
8	-26,60	20,03	1,96	59,97	-0,35	-48,38	0,47	3,50
9	-29,80	67,61	-1,96	59,97	0,35	-48,38	-0,47	3,50
10	-28,54	54,89	-1,81	45,89	0,33	-45,13	-0,44	-0,51
11	-26,94	40,48	-1,25	30,07	0,22	-41,13	-0,33	-5,02
12	-25,68	26,50	-0,97	14,17	0,20	-37,01	0,25	-9,29
13	-42,15	-48,97	-30,97	-41,97	6,62	-24,98	-7,98	-22,63
14	-43,57	-34,80	-31,64	-23,47	6,79	-29,58	-7,68	-17,74
15	-33,10	-175,17	-42,13	-162,29	8,97	-0,63	10,24	-50,62
16	-32,23	-162,32	-41,22	-145,52	8,80	-4,39	10,01	-46,00



Gambar 4. 23. Distribusi Momen dan Gaya Aksial Maksimum Akibat Gaya Tarik (Tr3)



Gambar 4. 24. Distribusi Momen dan Gaya Aksial Maksimum Akibat Gaya Tambat

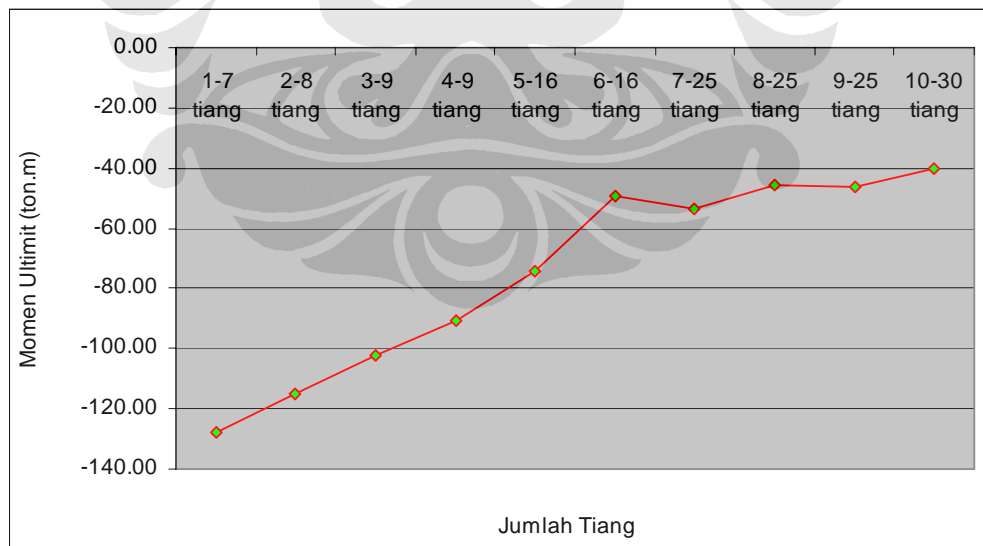


Gambar 4. 25. Distribusi Momen dan Gaya Aksial Maksimum Akibat Gaya Mati (Berat Sendiri Struktur)

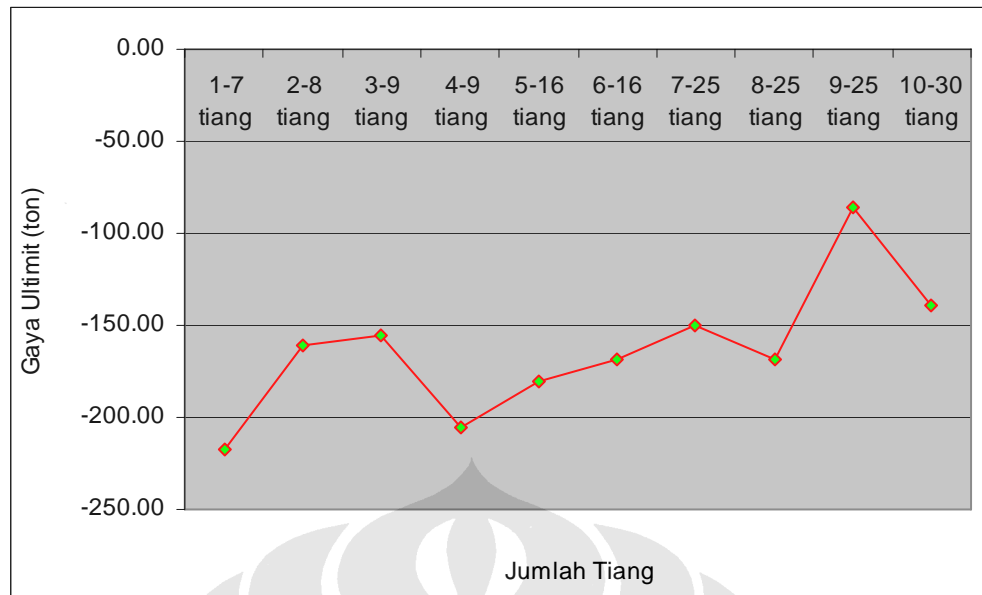
4.4.6 Analisa Variasi Jumlah Tiang

Tabel 4. 16. Jumlah Tiang dengan Mu dan Pu

Modelisasi	Jumlah tiang	Kemiringan	Kombinasi Terfaktor	
			Mu (ton.m)	Pu (ton)
1	3 x 3 (7 tiang)	1 : 5	-127.97	-217.04
2	3 x 3 (8 tiang)	1 : 5	-115.23	-160.53
3	3 x 3 (9 tiang)	1 : 5	-102.35	-154.92
6	4 x 4 (16 tiang)	1 : 5	-49.17	-168.34
8	5 x 5 (25 tiang)	1 : 5	-45.95	-168.20
10	6 x 6 (30 tiang)	1 : 5	-40.29	-139.13



Gambar 4. 26. Mu Terhadap Jumlah Tiang



Gambar 4. 27. Pu Terhadap Jumlah Tiang

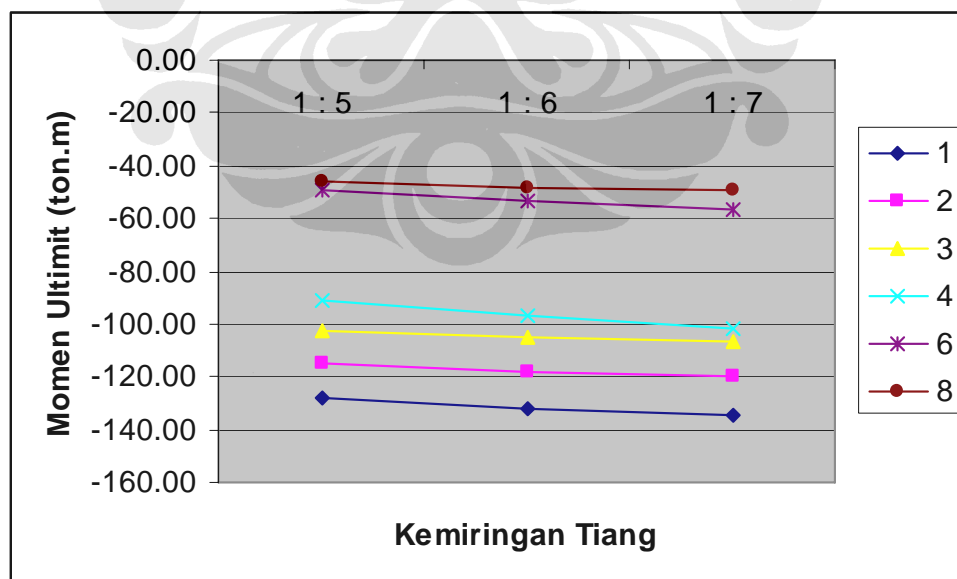
Dari hasil grafik (gambar 4.26 dan 4.27) yang diperoleh antara jumlah tiang dengan momen ultimit, dapat disimpulkan bahwa semakin banyak jumlah tiang yang diberikan dalam satu grup untuk *berthing dolphin*, maka momen ultimit tiang akan semakin kecil, begitu pula sebaliknya. Dan untuk gaya ultimit tiang juga seperti itu, semakin banyak tiang, maka gaya aksial pada tiang cenderung untuk semakin kecil. Namun, dapat juga jika adanya peningkatan jumlah tiang, gaya aksial tidak berubah secara signifikan.

4.4.7 Analisa Variasi Sudut Kemiringan

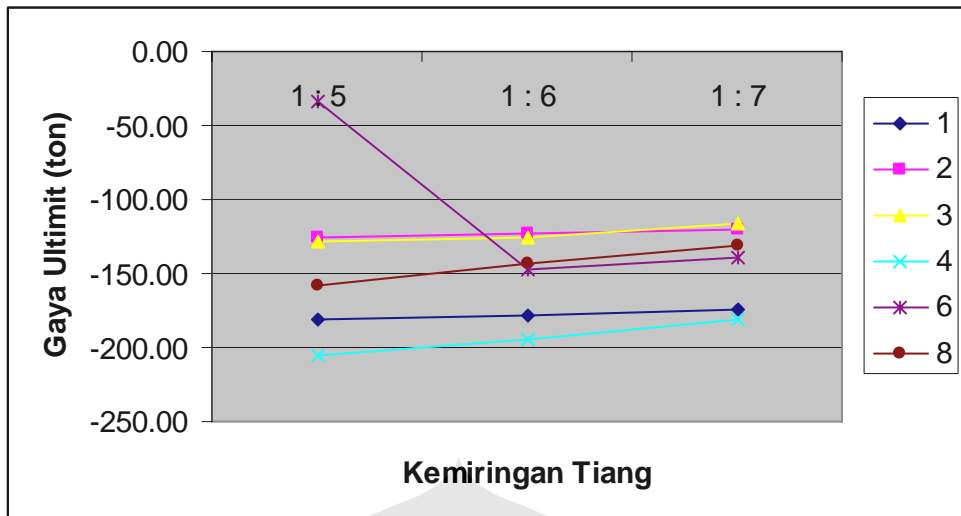
Pada sub-bab ini akan dijelaskan mengenai hasil yang diperoleh jika sudut kemiringan tiang divariasikan.

Tabel 4. 17. Mu, Pu, dan Defleksi Terhadap Perbedaan Kemiringan Tiang

Modelisasi	Jumlah tiang	Kemiringan	Kombinasi terfaktor		
			Jenis Beban	Mu (ton.m)	Pu (ton)
1	3 x 3 (7 tiang)	1 : 5	Tr 2	-127.97	-181.75
		1 : 6	Tr 2	-132.12	-178.10
		1 : 7	Tr 2	-134.97	-174.79
2	3 x 3 (8 tiang)	1 : 5	Tr 2	-115.23	-126.07
		1 : 6	Tr 2	-117.93	-123.08
		1 : 7	Tr 2	-119.72	-120.94
3	3 x 3 (9 tiang)	1 : 5	Tr 2	-102.35	-128.35
		1 : 6	Tr 2	-104.67	-125.12
		1 : 7	Tr 2	-106.56	-115.70
4	3 x 3 (9 tiang)	1 : 5	Tr 2	-90.74	-205.02
		1 : 6	Tr 2	-96.51	-194.68
		1 : 7	Tr 2	-101.98	-181.47
6	4 x 4 (16 tiang)	1 : 4	Tr 3	-43.57	-48.97
		1 : 5	Tr 3	-49.17	-34.13
		1 : 6	Tr 2	-53.31	-147.74
		1 : 7	Tr 2	-56.88	-139.71
8	5 x 5 (25 tiang)	1 : 4	Tr 2	-42.52	-174.61
		1 : 5	Tr 2	-45.95	-158.52
		1 : 6	Tr 2	-48.36	-143.17
		1 : 7	Tr 2	-49.22	-131.34



Gambar 4. 28. Mu Terhadap Kemiringan Tiang



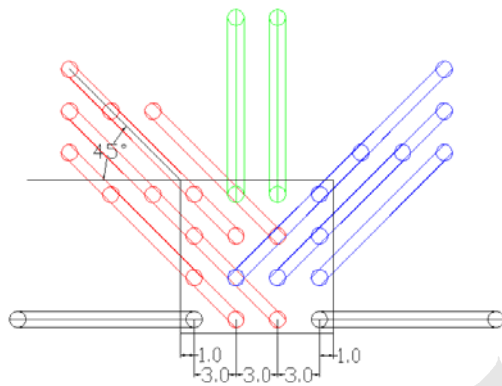
Gambar 4. 29. Pu Terhadap Kemiringan Tiang

Dari grafik-grafik diatas menunjukkan bahwa semakin miring tiang dalam satu grup tiang maka momen ultimit tiang akan semakin kecil, namun gaya aksial ultimit semakin besar. Hal ini menunjukkan bahwa semakin miring tiang yang dibebani beban horizontal, maka struktur akan semakin kuat. Karena tiang miring atau *batter pile* dapat mengubah gaya horizontal luar yang terjadi pada tiang menjadi gaya aksial dan horizontal pada tiang itu sendiri. Sehingga gaya yang terjadi pada grup tiang di setiap tiang tunggal dapat bersifat tarik maupun tekan. Namun jika seluruh tiang dalam grup tiang adalah tiang vertikal, maka jika terjadi beban horizontal pada struktur, gaya yang terjadi pada setiap tiang dalam grup sebagian besar akan bersifat tarik. Dan ketika sebagian besar tiang tertarik, maka tahanan ujung tiang tidak berfungsi, hanya tahanan friksi yang berfungsi, sehingga mengurangi daya dukung tiang itu sendiri.

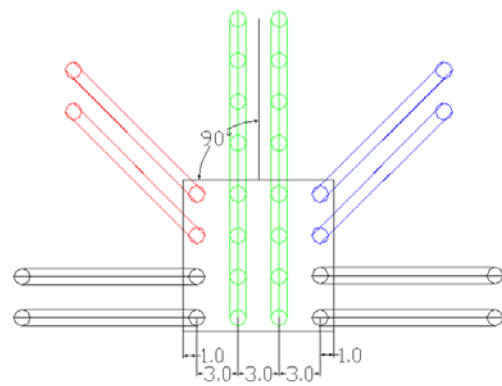
4.4.8 Analisa Variasi Arah Kemiringan

Pada modelisasi 5 dan 6, memiliki jumlah tiang yang sama yaitu 16 tiang, namun memiliki perbedaan pada arah kemiringan tiang. Pada modelisasi 5 terdapat 12 tiang dari 16 tiang yang memiliki arah kemiringan sebesar 45^0 terhadap sumbu horizontal (4.30), sedangkan modelisasi 6 hanya 4 tiang dari 16 tiang yang memiliki arah kemiringan sebesar 45^0 terhadap sumbu horizontal (Gb 4.31). Selain modelisasi 5 dan 6 yang memiliki kondisi seperti itu, dapat juga dilihat pada modelisasi 7 dan 8. Dimana modelisasi 7 memiliki 20 tiang dari 25 tiang yang memiliki arah kemiringan sebesar 45^0 terhadap sumbu horizontal,

sedangkan modelisasi 8 hanya 6 tiang dari 25 tiang yang memiliki arah kemiringan sebesar 45^0 terhadap sumbu horizontal.

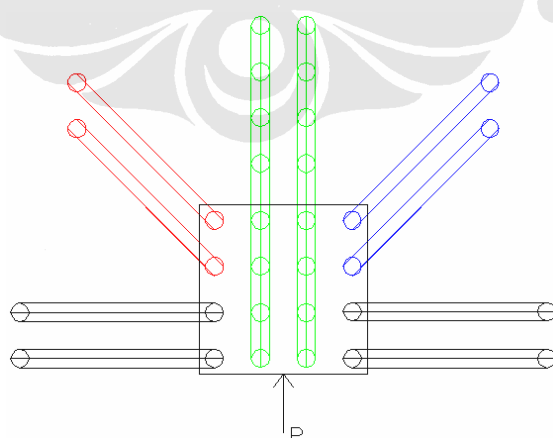


Gambar 4. 30. Modelisasi 5 dengan Arah Kemiringan 45^0 terhadap Sb.Horizontal



Gambar 4. 31. Modelisasi 6 dengan Arah Kemiringan 90^0 terhadap Sb.Horizontal

Perbedaan arah kemiringan seperti modelisasi yang disebutkan diatas memberikan hasil momen ultimit dan gaya ultimit yang sangat berbeda. Hal ini menunjukkan bahwa, kondisi yang lebih baik untuk grup tiang pada kasus *berthing dolphin* yang sedang ditinjau, adalah yang hanya memiliki sebagian kecil dari jumlah tiangnya yang memiliki arah kemiringan sebesar 45^0 terhadap sumbu horizontal. Faktor ini sangat dipengaruhi oleh arah beban horizontal yang terjadi pada grup tiang. Sehingga dapat disimpulkan bahwa sebaiknya arah kemiringan sebagian besar tiang pada grup adalah berlawanan dan memiliki sudut 180^0 terhadap arah beban terbesar (Gb 4.32).



Gambar 4. 32. Arah Gaya Sejajar dengan Arah Kemiringan Sebagian Besar Jumlah Tiang

4.4.9 Analisa Hasil Pegas Non-Linier

Untuk modelisasi 6 kemiringan 1 : 4, dilakukan analisa non-linier. Hal ini dilakukan untuk melihat kapasitas tahanan tanah terhadap beban lateral yang terjadi. Dibawah ini adalah perbandingan antara hasil analisa linier dengan non-linier:

Tabel 4. 18. Hasil Analisa Non-Linier Modelisasi 6 (1:4)

Analisa Non-Linier										
Kombinasi Terfaktor			Kombinasi Tidak Terfaktor							
Jenis Beban	Mu (ton.m)	Pu (ton)	Jenis Beban	Pu (ton)	Defleksi (cm)			U1	U2	U3
					U1	U2	U3			
Tr 1	-10.51	-193.82	Tarik 1	-150.06						
Tr 3	-41.62	-33.93				7.66	13.85	3.98		

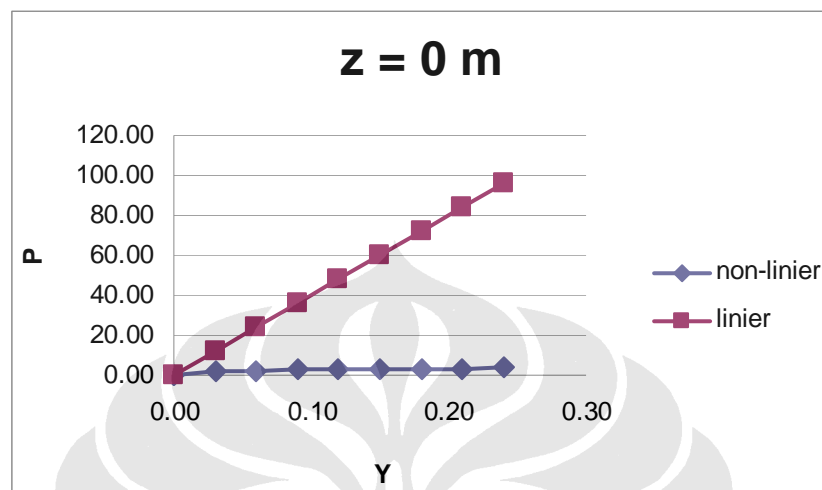
Tabel 4. 19. Hasil Analisa Linier Modelisasi 6 (1:4)

Analisa Linier										
Kombinasi Terfaktor			Kombinasi Tidak Terfaktor							
Jenis Beban	Mu (ton.m)	Pu (ton)	Jenis Beban	Pu (ton)	Defleksi (cm)			U1	U2	U3
					U1	U2	U3			
Tr 3	-7.88	-175.17	Tarik 3	-75.06						
Tr 3	-43.57	-48.97				6.19	7.86	2.11		

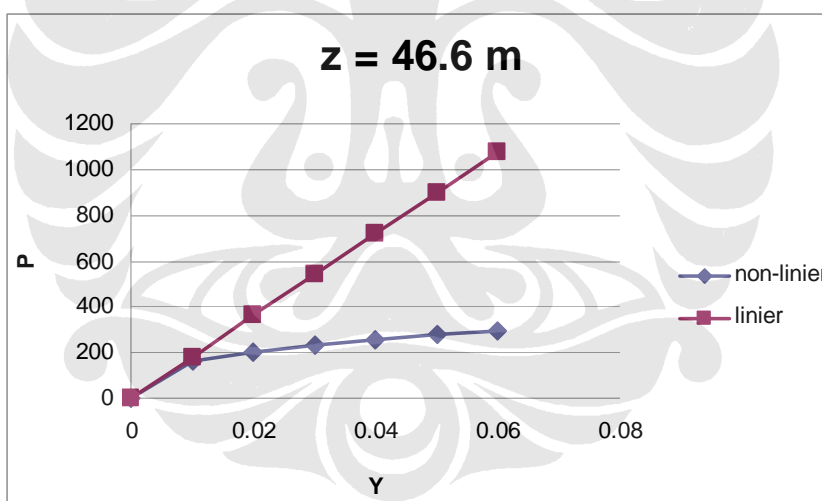
Dari perbandingan antara hasil analisa non-linier dan linier, diperoleh gaya aksial pada analisa non-linier lebih besar daripada gaya aksial pada analisa linier. Sedangkan momen ultimitnya pada analisa non-linier lebih kecil daripada hasil analisa linier. Hal ini menunjukkan bahwa kondisi struktur jika diberi pegas linier, maka struktur akan lebih kaku dibandingkan jika struktur diberi pegas non-linier.

Pada pegas linier, gaya reaksi pegas selalu berbanding lurus dengan *displacement* yang terjadi. Jadi jika gaya luar yang terjadi semakin besar, maka gaya reaksi pegas juga akan semakin besar. Sedangkan untuk pegas non-linier, gaya reaksi pegas tidak berbanding lurus dengan *displacement* yang terjadi pada zona plastis. Jadi jika gaya luar yang terjadi semakin besar, tetapi pegas sudah tidak dapat memberi tahanan lagi, maka gaya reaksi pegas akan tetap pada gaya ultimit pegas itu sendiri, dapat disebut sebagai pegas sudah plastis. Selain itu, dari grafik P-Y (Gb.4.33 dan Gb.4.34) yang diperoleh jika dilakukan perbandingan antara pegas linier dan non-linier, ternyata hasilnya pegas linier memiliki kekakuan lebih besar daripada pegas non-linier (Grafik linier diatas garfik non-

linier). Dengan alasan tersebut, maka kekakuan tiang-pegas pada kondisi non-linier akan lebih kecil dibandingkan dengan kekakuan pada kondisi linier. Sehingga dapat disimpulkan bahwa untuk struktur *berthing dolphin* seperti pada kasus yang ditinjau, desain cukup konservatif jika menggunakan pegas linier.



Gambar 4. 33. Grafik P-Y pada Kedalaman 0 m (*seabed*)

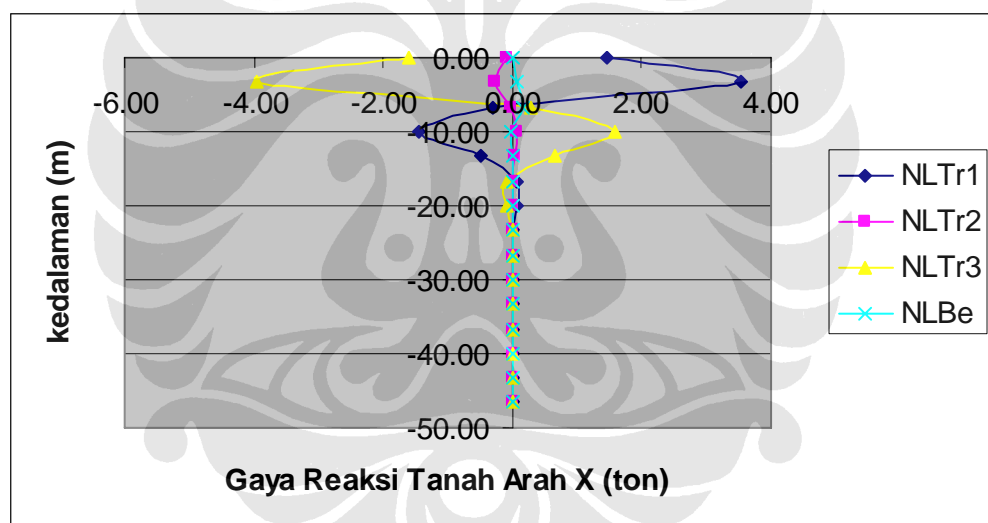


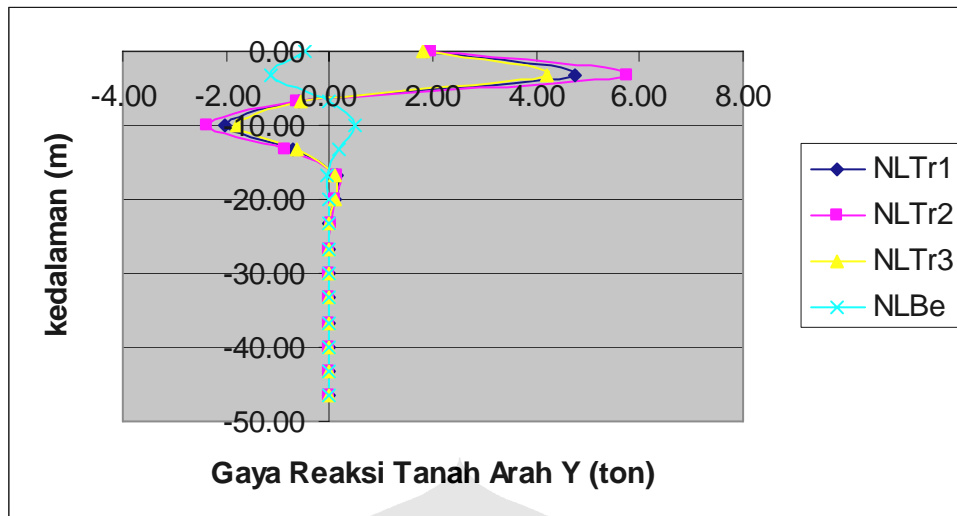
Gambar 4. 34. Grafik P-Y pada Kedalaman 46.6 m

Untuk gaya reaksi pegas non-linier yang terjadi akibat gaya luar yang ada dapat dilihat pada tabel 4.20.

Tabel 4. 20. Gaya Reaksi Pegas Non-Linier

z (m)	Pu	Beban	F1	F2									
0.00	6.12	NLTr1	1.45	1.87	NLTr2	-0.091	1.960	NLTr3	-1.595	1.803	NLBe	0.020	-0.496
-3.33	33.07		3.54	4.76		-0.262	5.740		-3.965	4.215		0.058	-1.153
-6.66	53.90		-0.31	-0.58		-0.014	-0.638		0.289	-0.581		0.153	0.003
-9.99	97.84		-1.46	-2.01		0.081	-2.378		1.585	-1.810		-0.018	0.495
-13.32	165.82		-0.48	-0.72		0.041	-0.868		0.644	-0.641		-0.009	0.175
-16.65	188.85		0.08	0.13		-0.002	0.150		-0.082	0.119		0.000	-0.033
-19.98	221.48		0.08	0.10		-0.005	0.120		-0.087	0.091		0.001	-0.025
-23.31	254.32		0.01	0.01		-0.001	0.007		-0.008	0.004		0.000	-0.001
-26.64	377.11		-0.01	-0.01		0.000	-0.009		0.007	-0.007		0.000	0.002
-29.97	519.73		0.00	0.00		0.000	-0.001		0.001	-0.001		0.000	0.000
-33.30	650.79		0.00	0.00		0.000	0.001		0.000	0.000		0.000	0.000
-36.63	796.00		0.00	0.00		0.000	0.000		0.000	0.000		0.000	0.000
-39.96	862.80		0.00	0.00		0.000	0.000		0.000	0.000		0.000	0.000
-43.29	929.60		0.00	0.00		0.000	0.000		0.000	0.000		0.000	0.000
-46.62	996.40		0.00	0.00		0.000	0.000		0.000	0.000		0.000	0.000
-49.95	1306.07		-26.54	0.00		-43.682	0.000		-46.878	0.000		0.705	0.000
		F3	106.11		F3	174.67		F3	187.45		F3	-2.82	





Gambar 4. 36. Gaya Reaksi Arah Y Terhadap Kedalaman

Dari hasil reaksi pegas yang terjadi, menunjukkan bahwa semua pegas belum ada yang mencapai kondisi plastis. Hal ini dikarenakan semua gaya reaksi yang terjadi belum melewati gaya ultimit (P_u) pegas tersebut.

Jika dilihat dari grafik 4.35 dan 4.36, reaksi pegas yang terjadi di kedalaman 0,00 m, pegas tidak mengalami reaksi yang paling besar. Namun kemudian pada kedalaman -3.33 m, gaya reaksi pegas menjadi lebih besar, kemudian mengecil kembali dan pada kedalaman -9.99 m pegas memberikan reaksi yang besar kembali. Kemudian reaksi pegas akan cenderung terus mengecil hingga kedalaman -46.62 m. Dan pada ujung tiang reaksi pegas menjadi sangat besar.